

CHEMIE ŽIVOTNÍHO PROSTŘEDÍ IV

Vybrané typy environmentálních polutantů

(04/04)

Polychlorované bifenyly (PCBs)

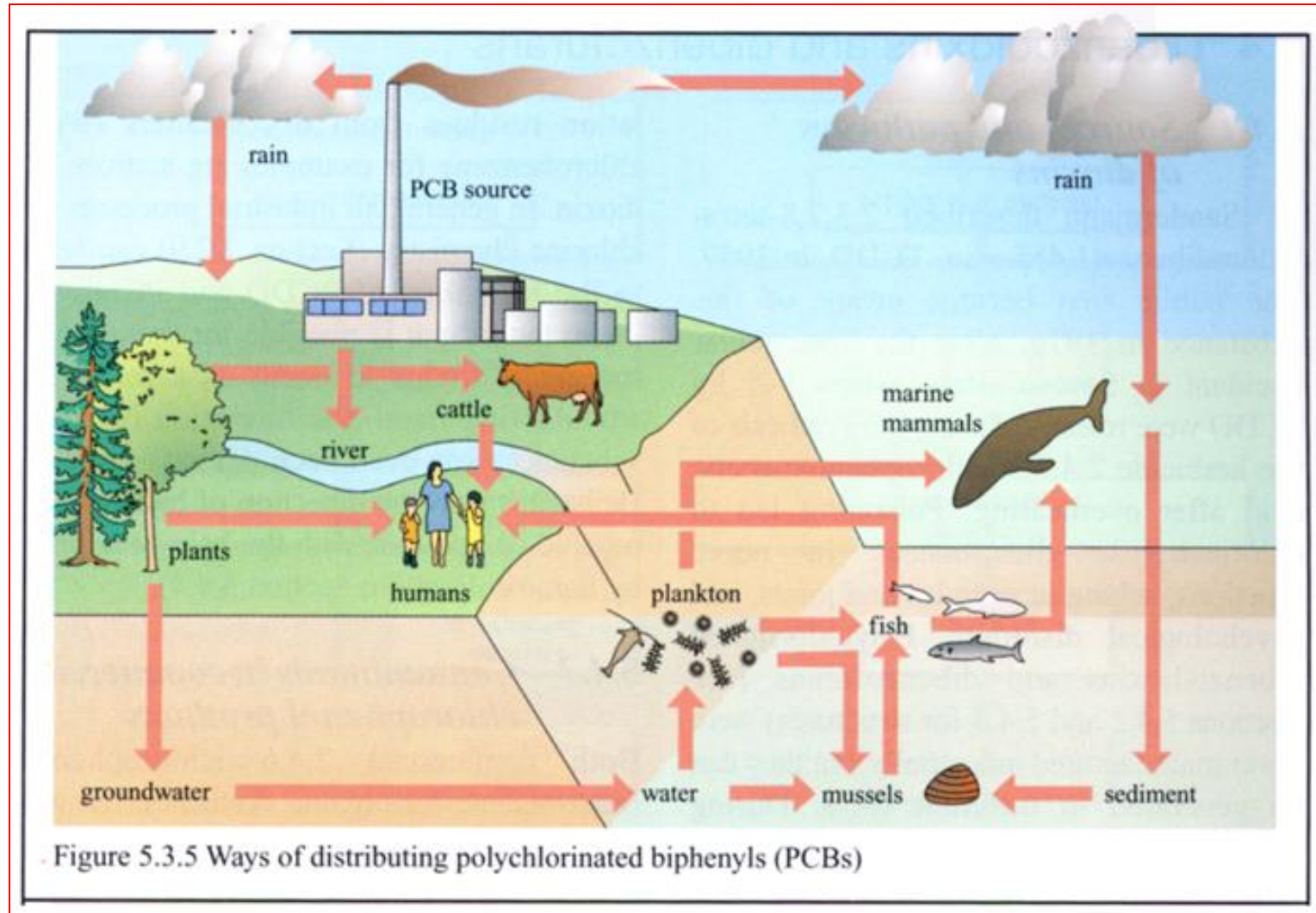
Osud, účinky

Ivan Holoubek

RECETOX, Masaryk University, Brno, CR

holoubek@recetox.muni.cz; <http://recetox.muni.cz>

Cesty distribuce PCBs



Bioakumulace PCBs

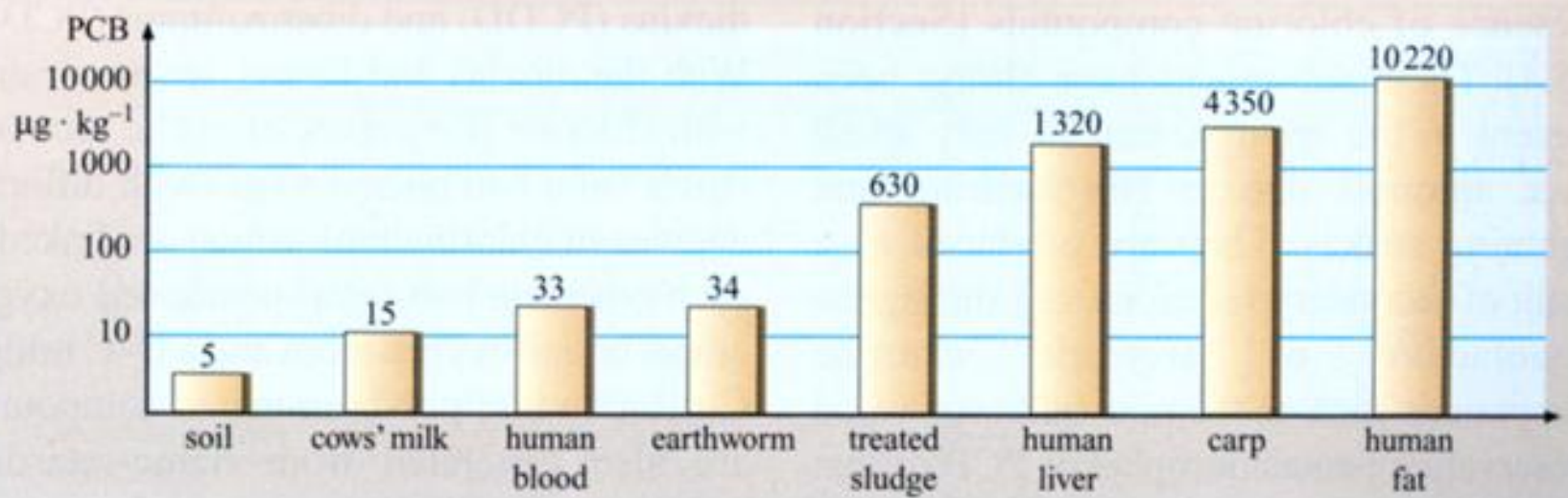
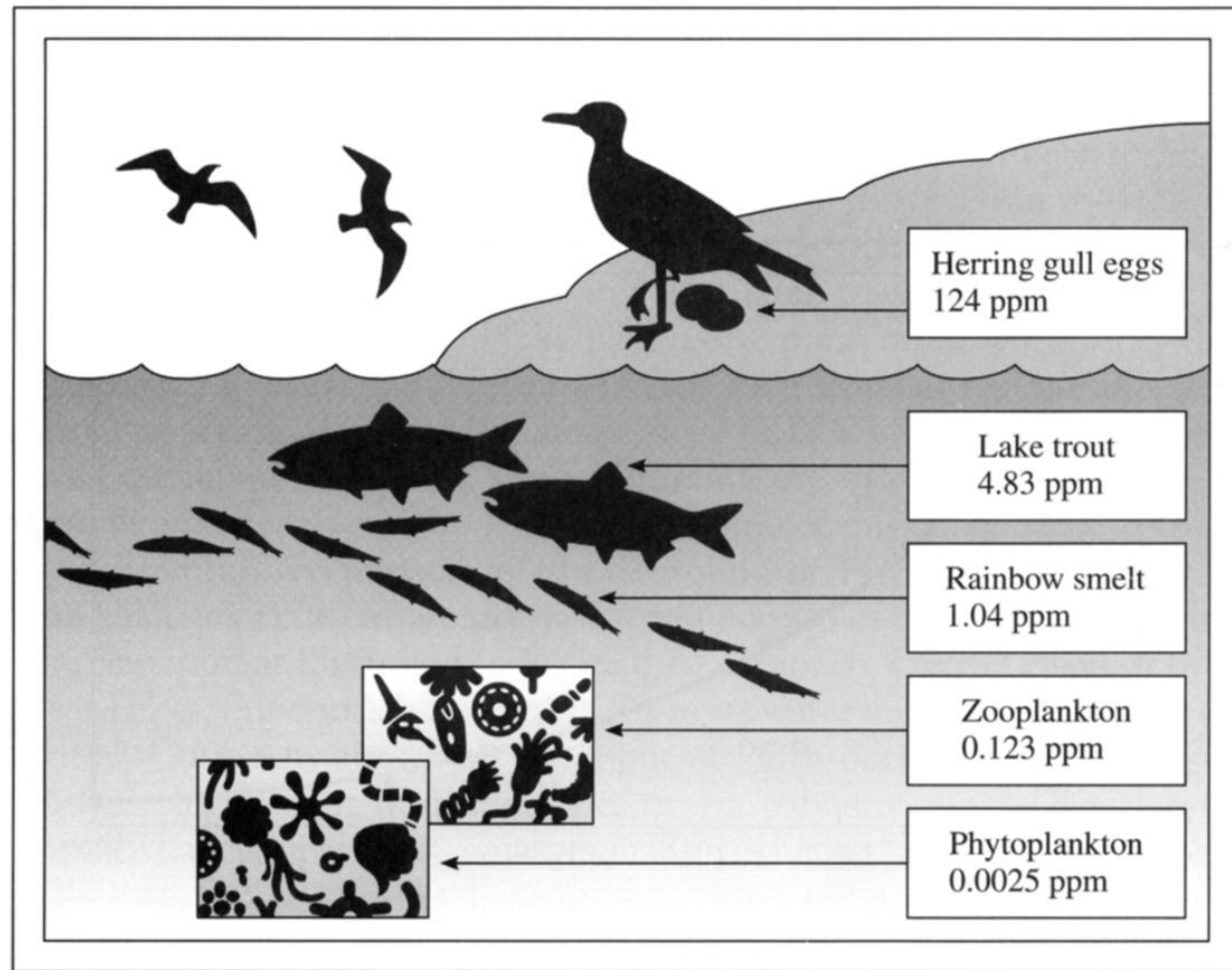


Figure 5.3.6 Bioaccumulation of PCBs

Bioakumulace PCBs

Figure 6-7

The bioaccumulation and biomagnification of PCBs in the Great Lakes aquatic food chain. (Source: *The State of Canada's Environment*. 1991. Ottawa: Government of Canada.)

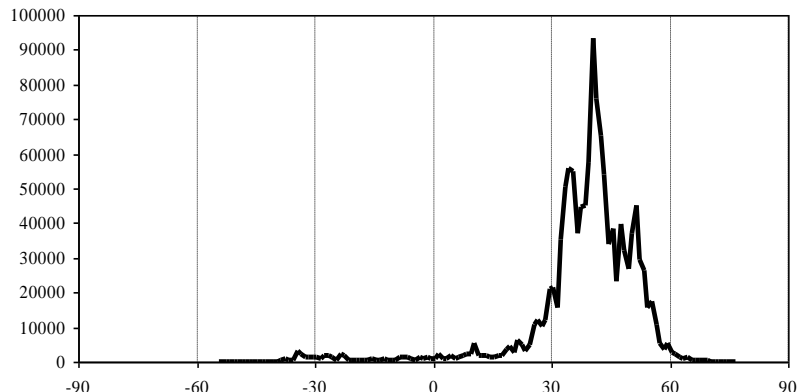


Globální distribuce PCBs

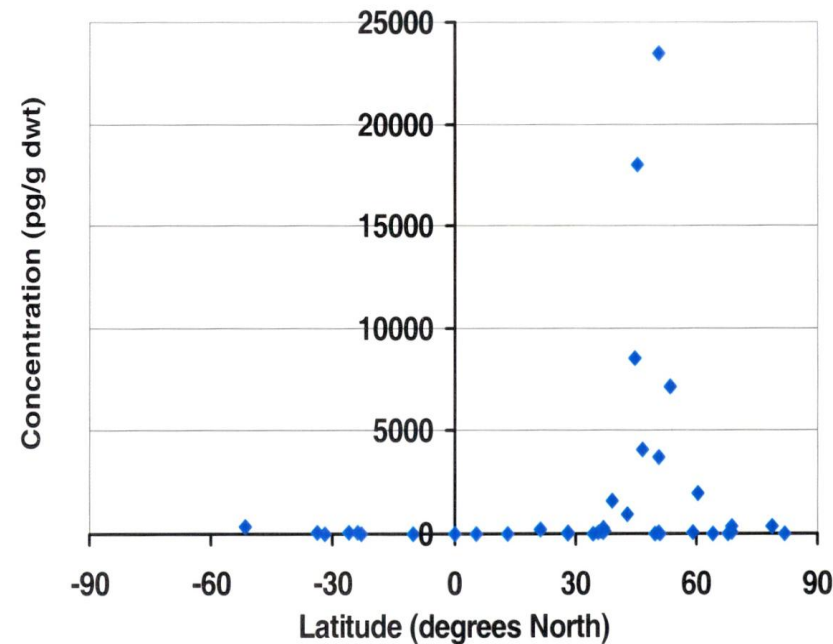
Složka prostředí	Celkové zatížení prostředí [t]	Poměr ke světové produkci [%]
	[%]	
Terrestrické a pobřežní oblasti		
Ovzduší	500	0,13
Říční a jezerní voda	3 500	0,94
Mořská voda	2 400	0,64
Půda	2 400	0,64
Sediment	130 000	35
Biota	4 300	1,1
Celkem (A)	143 000	39
Otevřený oceán		
Ovzduší	790	0,21
Mořská voda	230 000	61
Sediment	110	0,03
Biota	270	0,07
Celkem (B)	231 000	61
Celkové zatížení (A + B)	374 000	100
Degradováno a spáleno	43 000	4
Zásoby	783 000	65
Světová produkce	1 200 000	100

Globální distribuce PCBs a kontaminace půdy

Global historical usage of total PCBs by latitude (in tonnes)

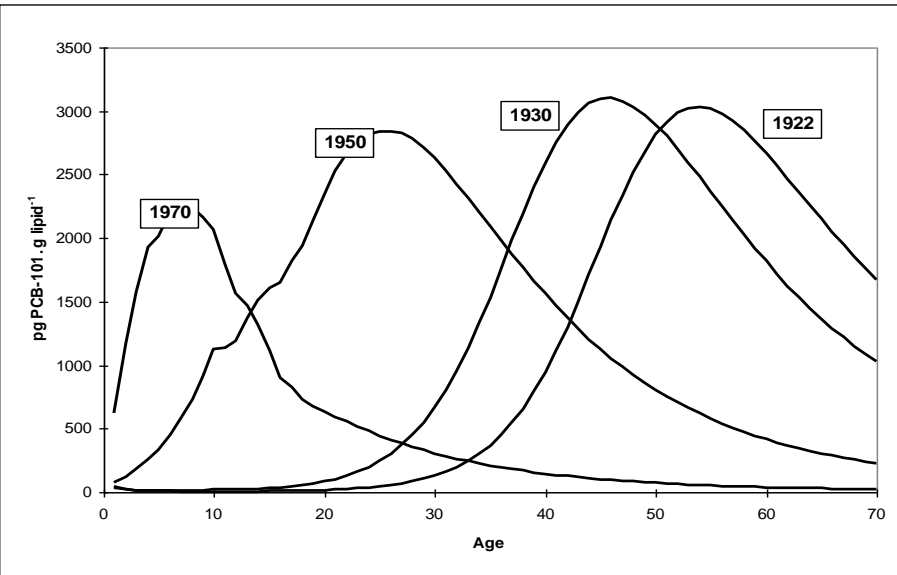


Použité PCBs

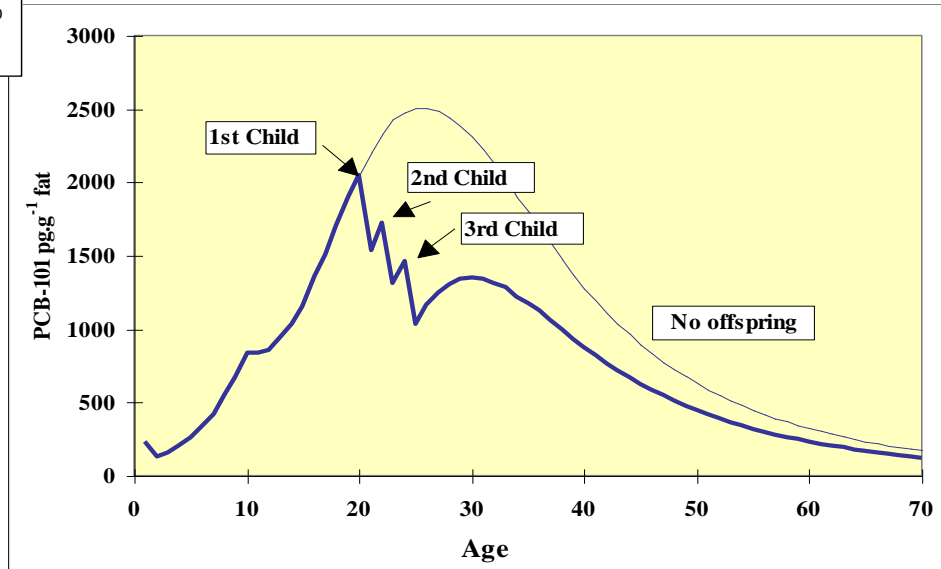


Hladiny v půdách

Predikované koncentrace PCB-101 v tkáních pro různé věkové skupiny v UK narozené mezi 1920 a 1990



Účinek počtu narozených dětí na obsah PCB-101 v těle matky.
Tělesný tuk matky narozené v roce 1950 a nemající dítě a jiné, mající 3 děti ve věku 20, 22 a 24



Rozklad PCBs

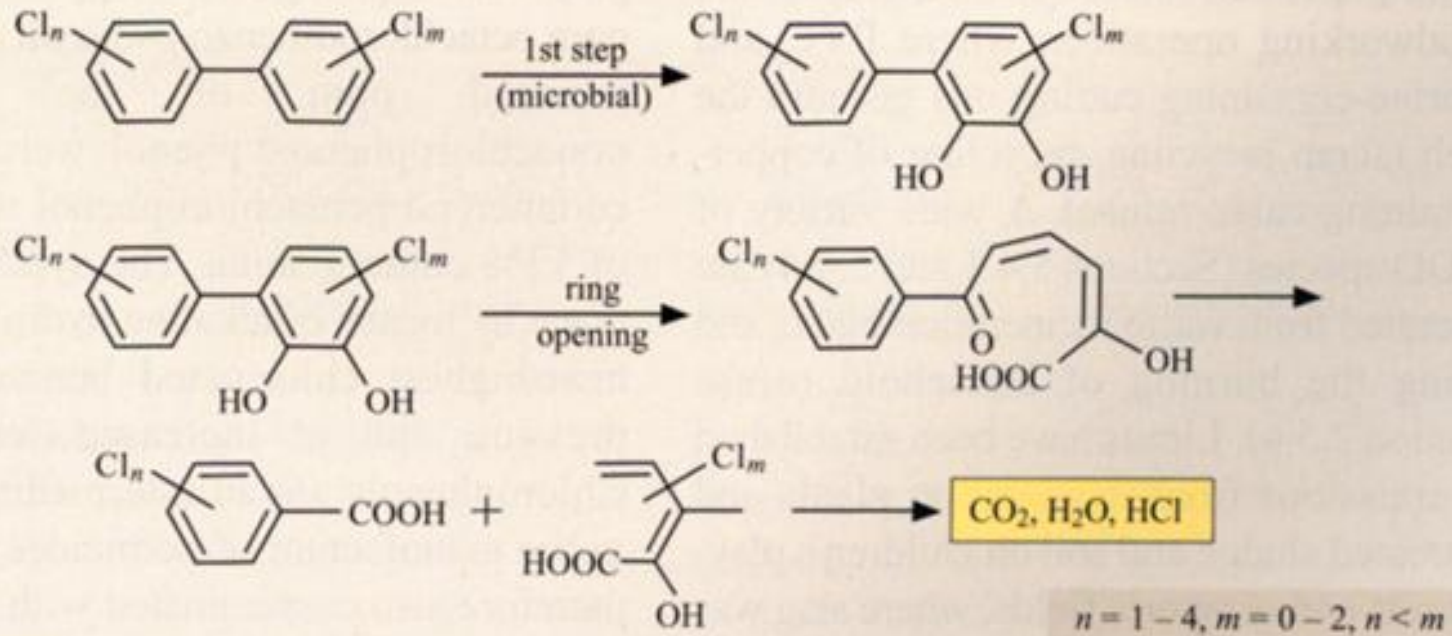


Figure 5.3.7 Decomposition of PCBs

Aerobní rozklad PCBs

Figure 10-9

Example of the aerobic degradation of PCB molecules.

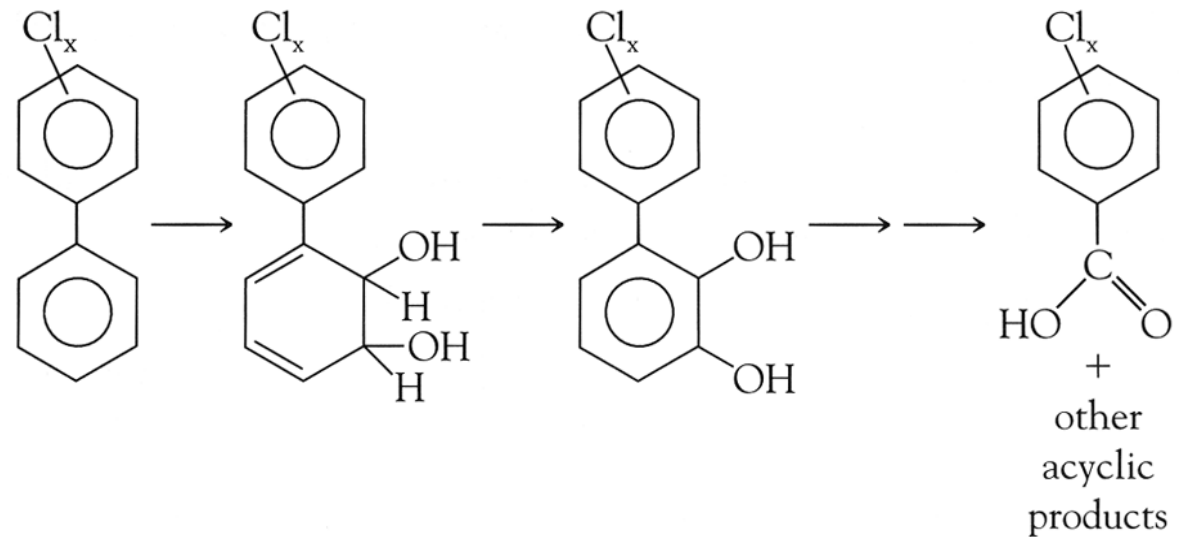
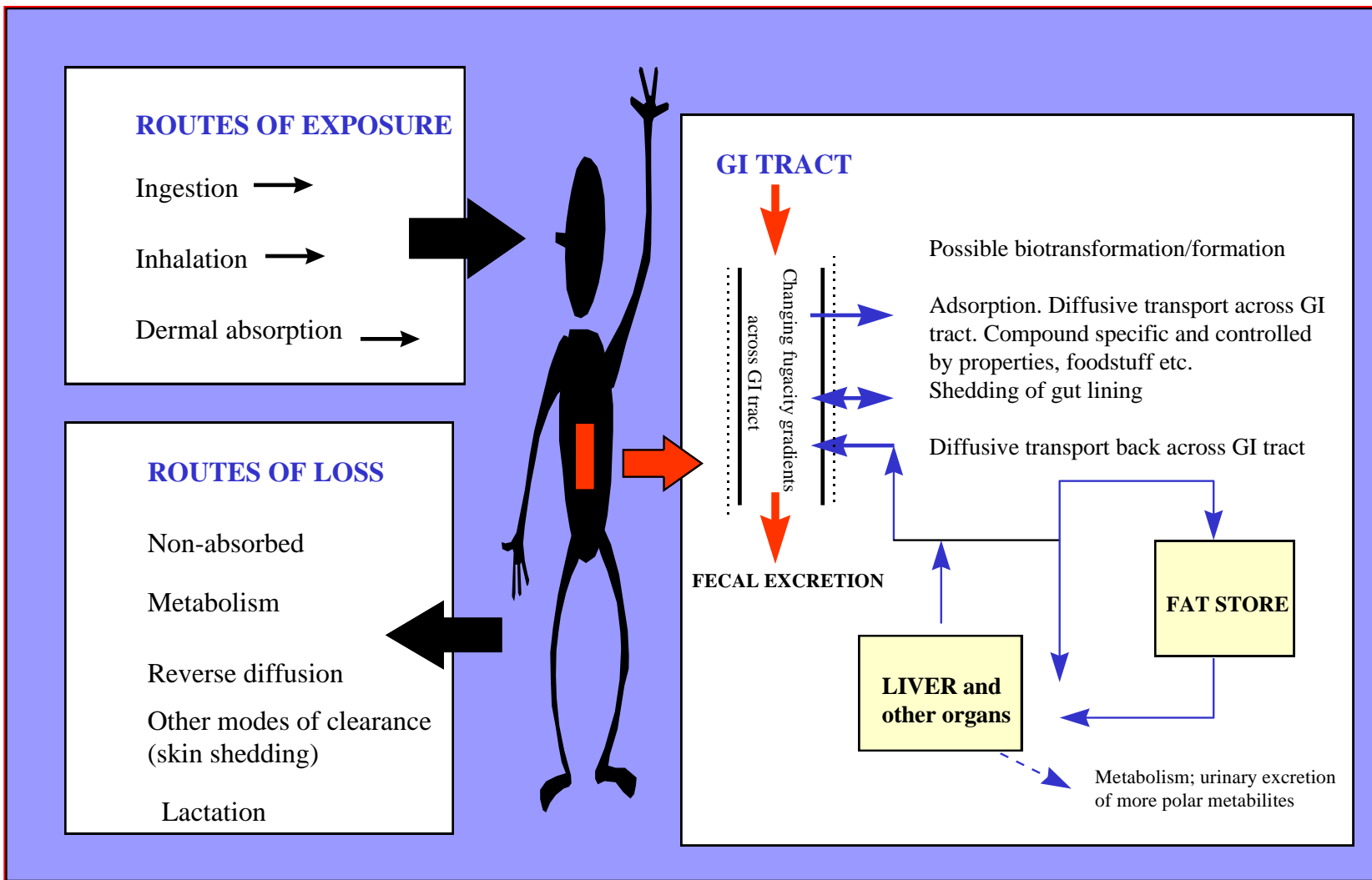


Schéma expozičního metabolismu a transformace POPs v lidském organismu



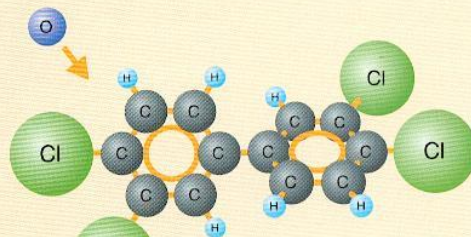
Metabolismus PCBs

Metabolism of PCBs

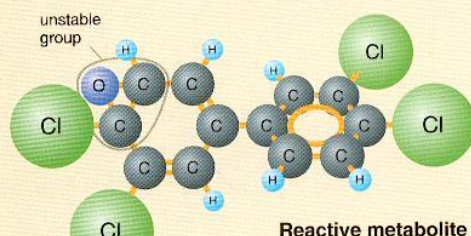
Metabolism of a PCB usually begins with oxidation (the addition of oxygen) under the influence of an enzyme of the cytochrome P450 type. Here we shall look at how this affects one of the dioxin-like PCB congeners.

The immediate result is what is known as an arene oxide, but here the oxygen atom is incorporated in such an unstable group that this first metabolic step is very short-lived.

The unstable group is quickly broken up and usually replaced by a hydroxy group, in some cases (as here) after the oxygen atom has changed places with a chlorine atom. The hydroxy group makes the molecule relatively soluble in water, which normally enables it to be rapidly



Example of original congener
(3,3',4,4'-tetrachlorobiphenyl)



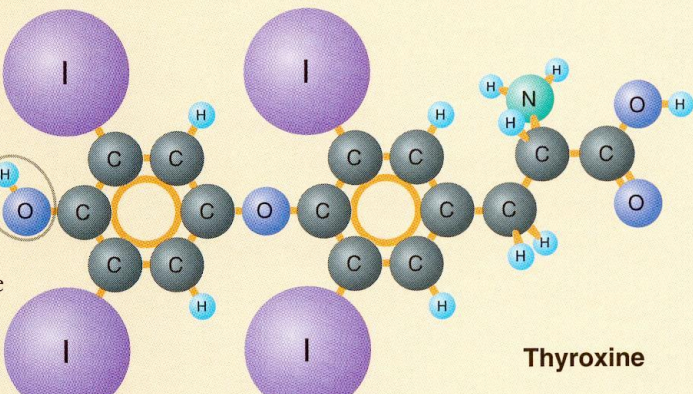
Reactive metabolite
of arene oxide type



Hydroxy metabolite
(4-hydroxy-
3,3',4,4'-tetrachlorobiphenyl)

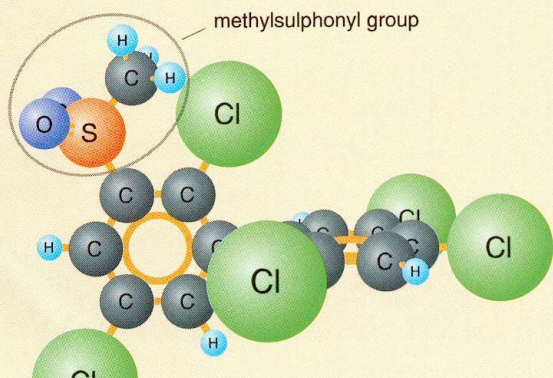
excreted.

However, the hydroxy metabolite shown above has certain similarities to the thyroid hormone thyroxine. As a result, it is retained in the body after all.



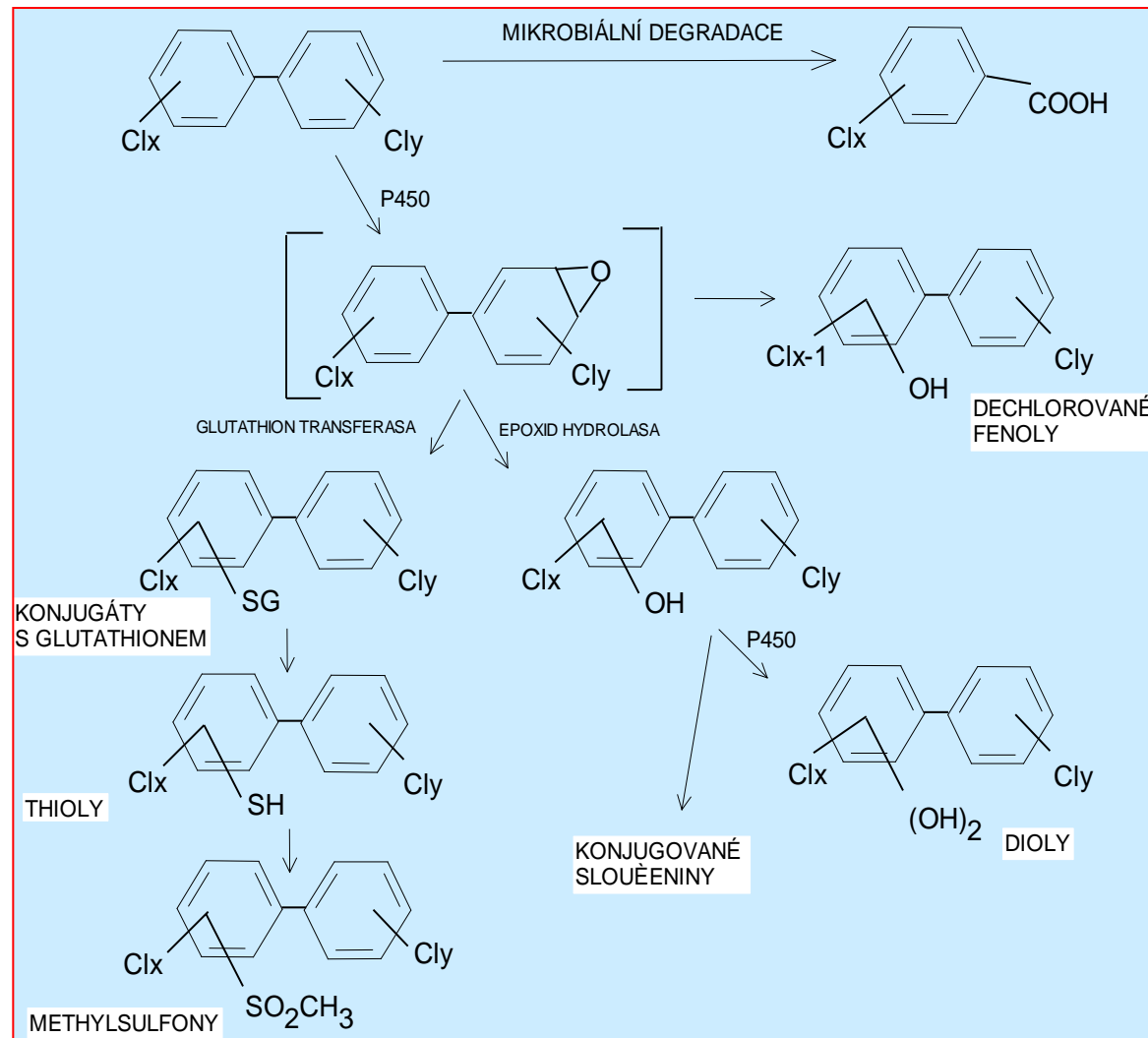
Thyroxine

After the arene oxide stage, certain PCB congeners can be converted into methylsulphonyl metabolites. These may also remain in the body, however. The variant depicted here, for example, has been found in a bound form in the livers of rats, otters and mink.



Methylsulphonyl metabolite
(3-methylsulphonyl-2,2',4',5,5'-pentachlorobiphenyl)

Schéma metabolické transformace PCBs



Metabolismus PCBs

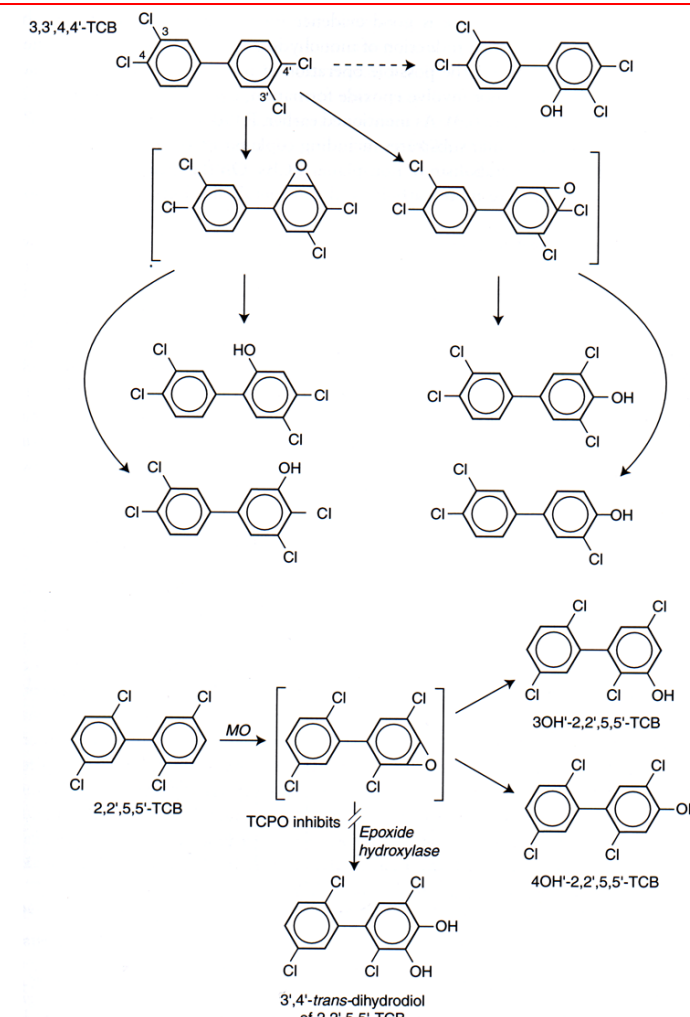
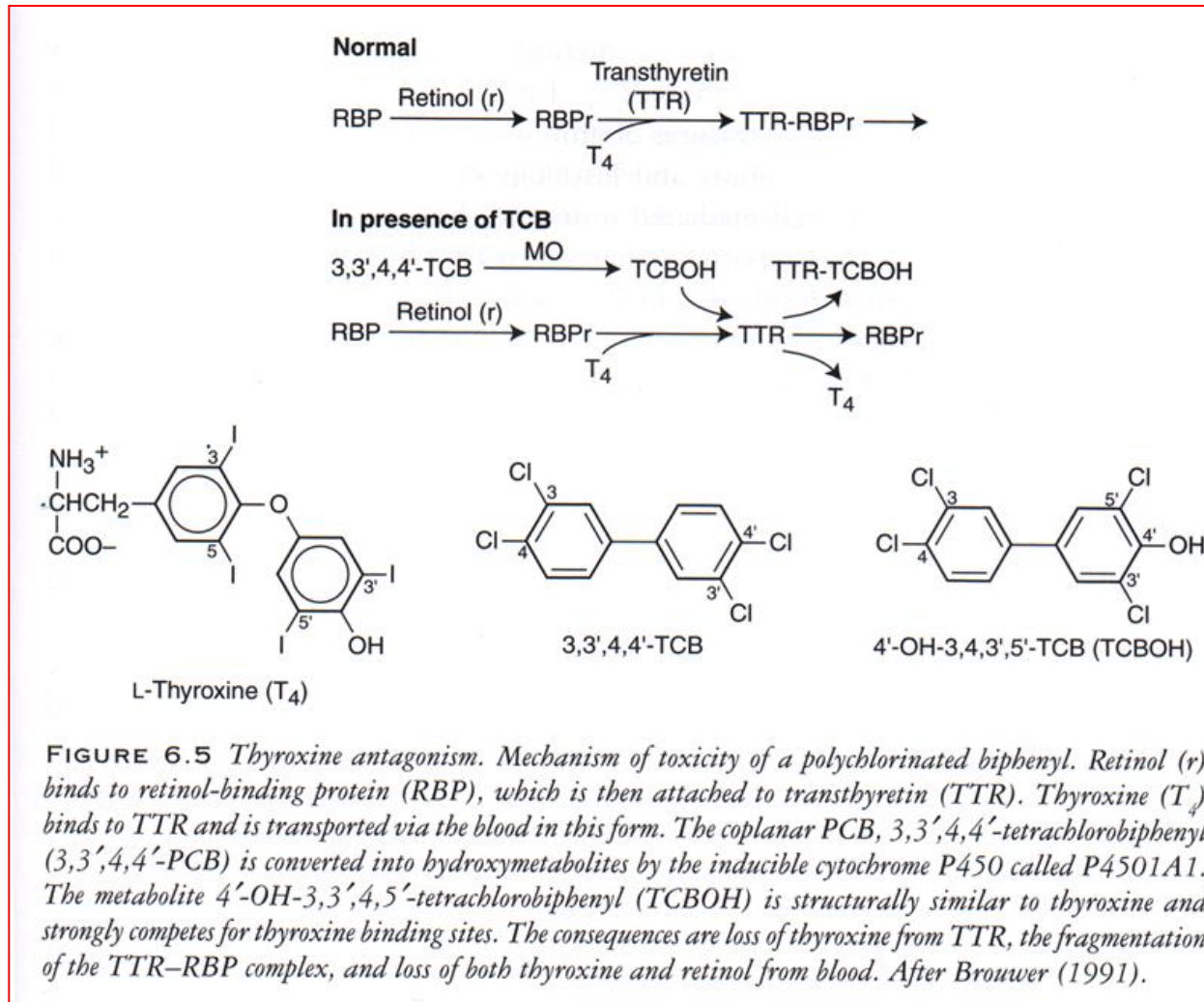
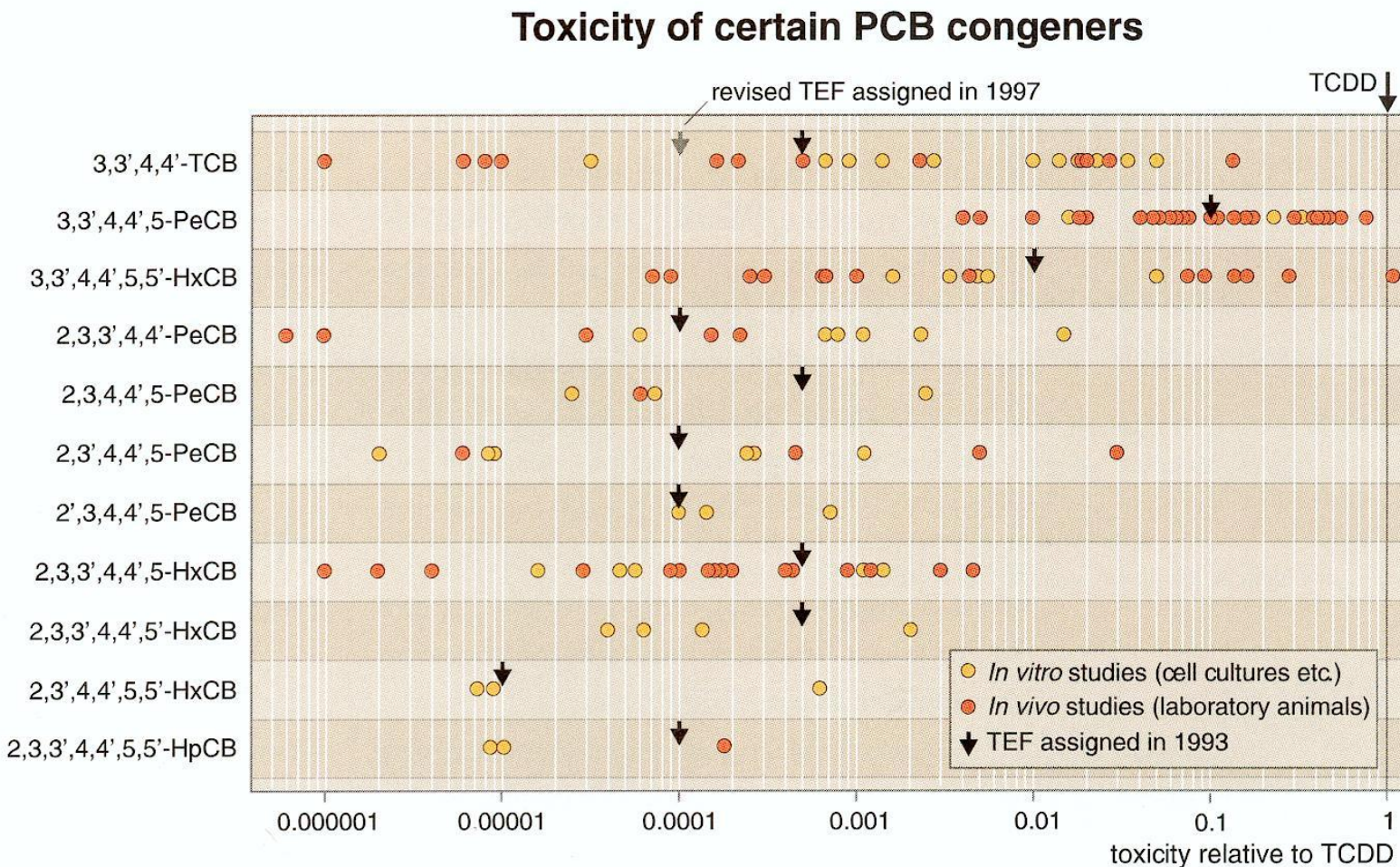


FIGURE 6.3 Metabolism of PCBs.

Antagonismus thyroxinu



Toxicita vybraných PCB kongenerů



Klinické příznaky otravy YUSHO

Efekt na:

kůži
žlázách
nehtech, mukózních
membránách

játrech

plíce

sérové lipidy

imunitní systém

ženském reprodukčním
systému

nervovém systému

placentě

novorozencích

Anamnéza:

hyperkeratogeneze, hyperpigmentace, akné
otoky, hypersekrece
pigmentace

zvýšení sérové transaminasy, alkalické fosfatasy, pokles
sérového bilirubinu

chronická bronchitida (způsobená sulfonovými metabolity)

zvýšení sérových triglyceridů

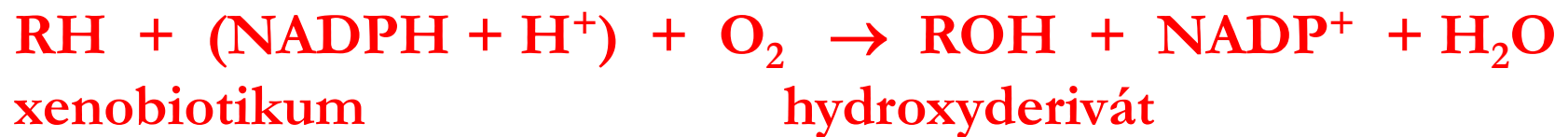
zvýšená náchylnost k infekcím, snížení hladin
imunoglobulinů (IGA, IGM),
pokles buněčné imunity

ovlivnění menstruačního cyklu

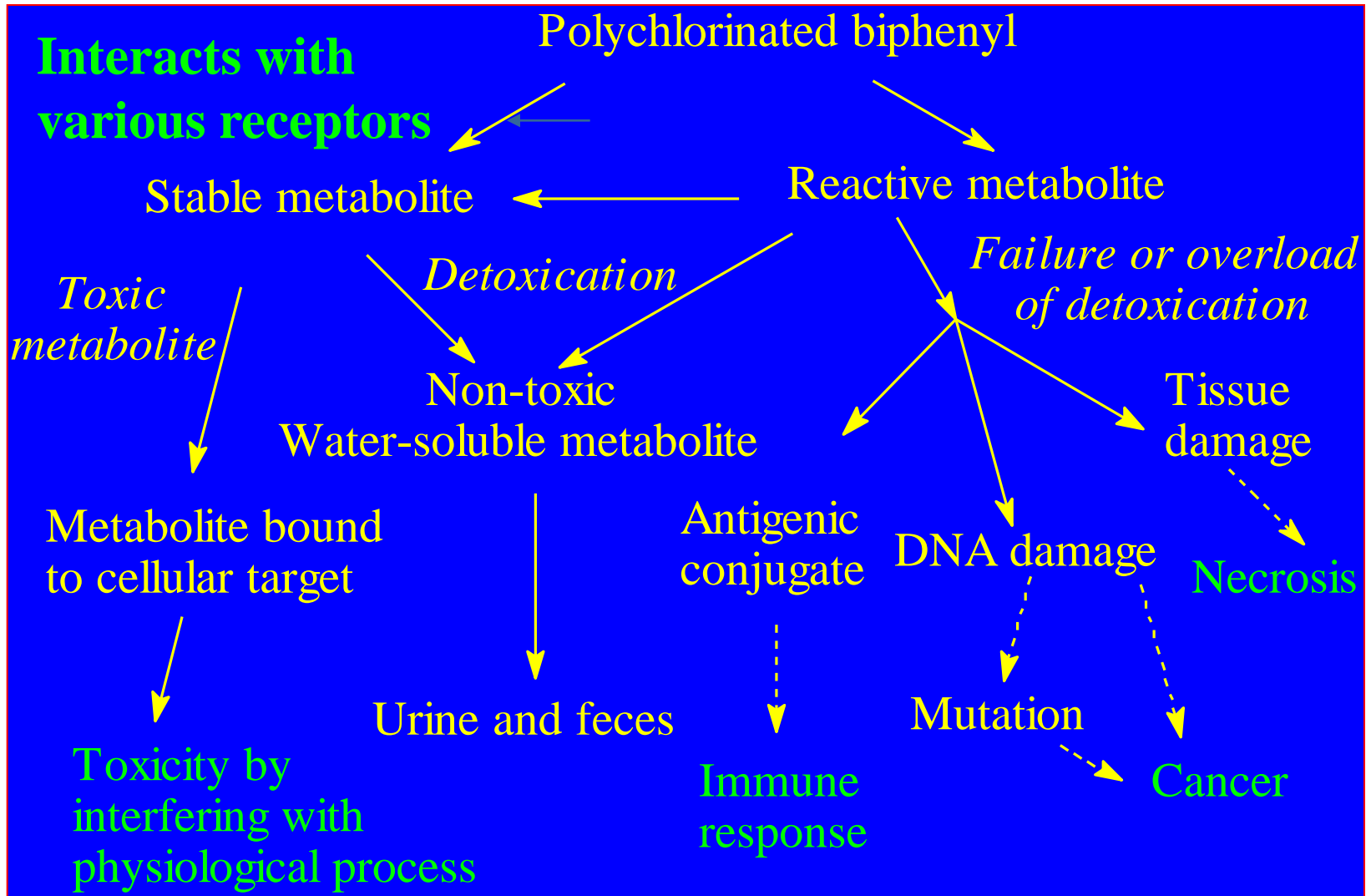
snížená rychlosť vedení nervových impulsů
v periferních nervech, senzorická neuropatie
indukce enzymů

snížení porodní váhy, hyperpigmentace kůže a mukózních
membrán, obličejové otoky, abnormalní kalciferace lebky

Obecné schéma biotransformace monooxygenázou



Metabolismus PCBs



Persistence PCBs a PCB metabolitů

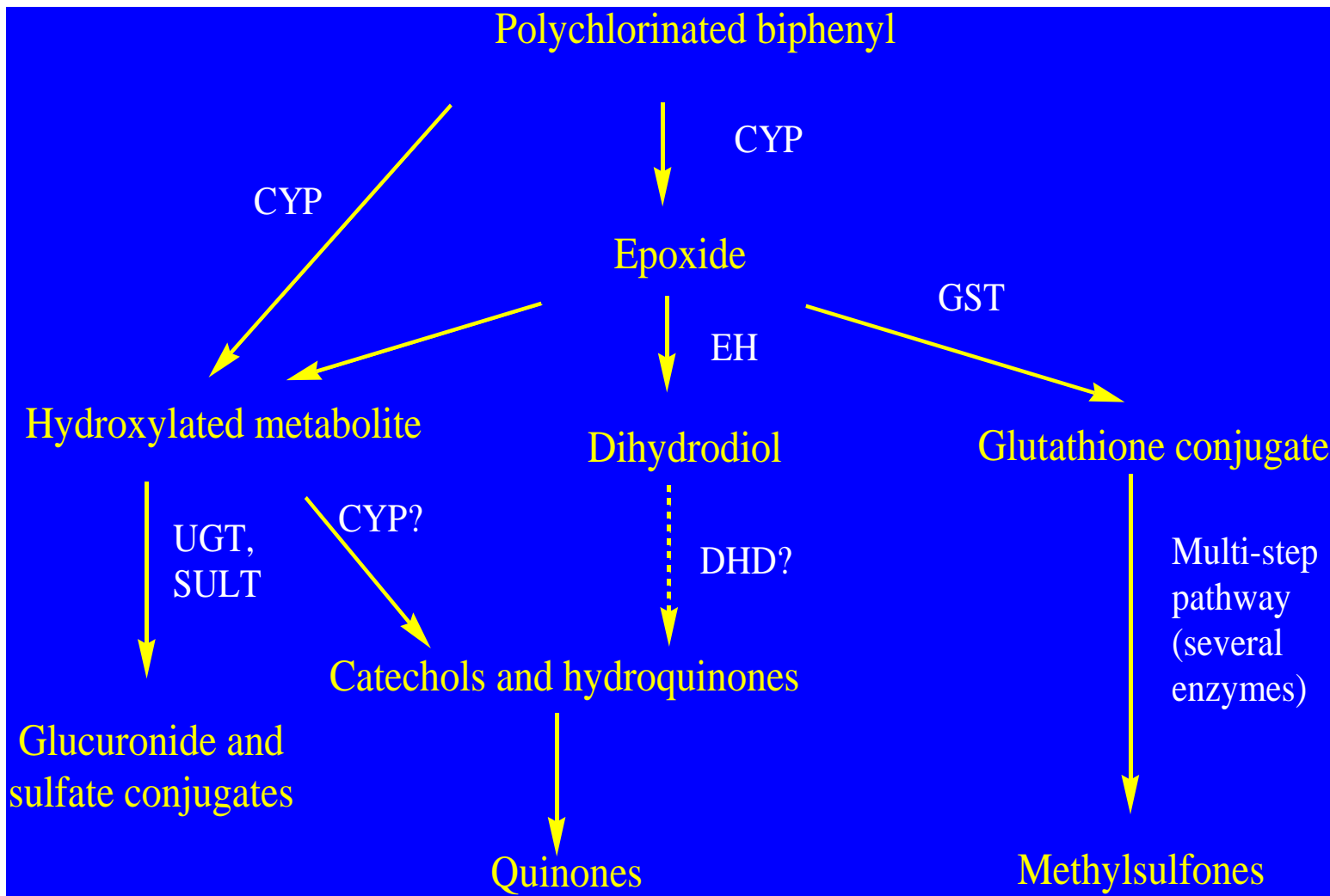
Obecně, PCB s jedním nebo více Cl v ortho polohách jsou persistentnější než kongenery nesubstituované v ortho polohách.

Nejenže jsou ortho-PCB metabolizovány pomaleji, ale některé metabolismy jsou také méně vylučovány.

Persistence většinou limituje proveditelnost prvního kroku metabolismu (CYP-katalýza).

Některé metabolismy s ortho chlory jsou přednostně vázány v krvi a tkáních.

Metabolismus PCBs



Biotransformace

Intenzivně studován 3,3',4,4'-tetra-chlorbifenyl.

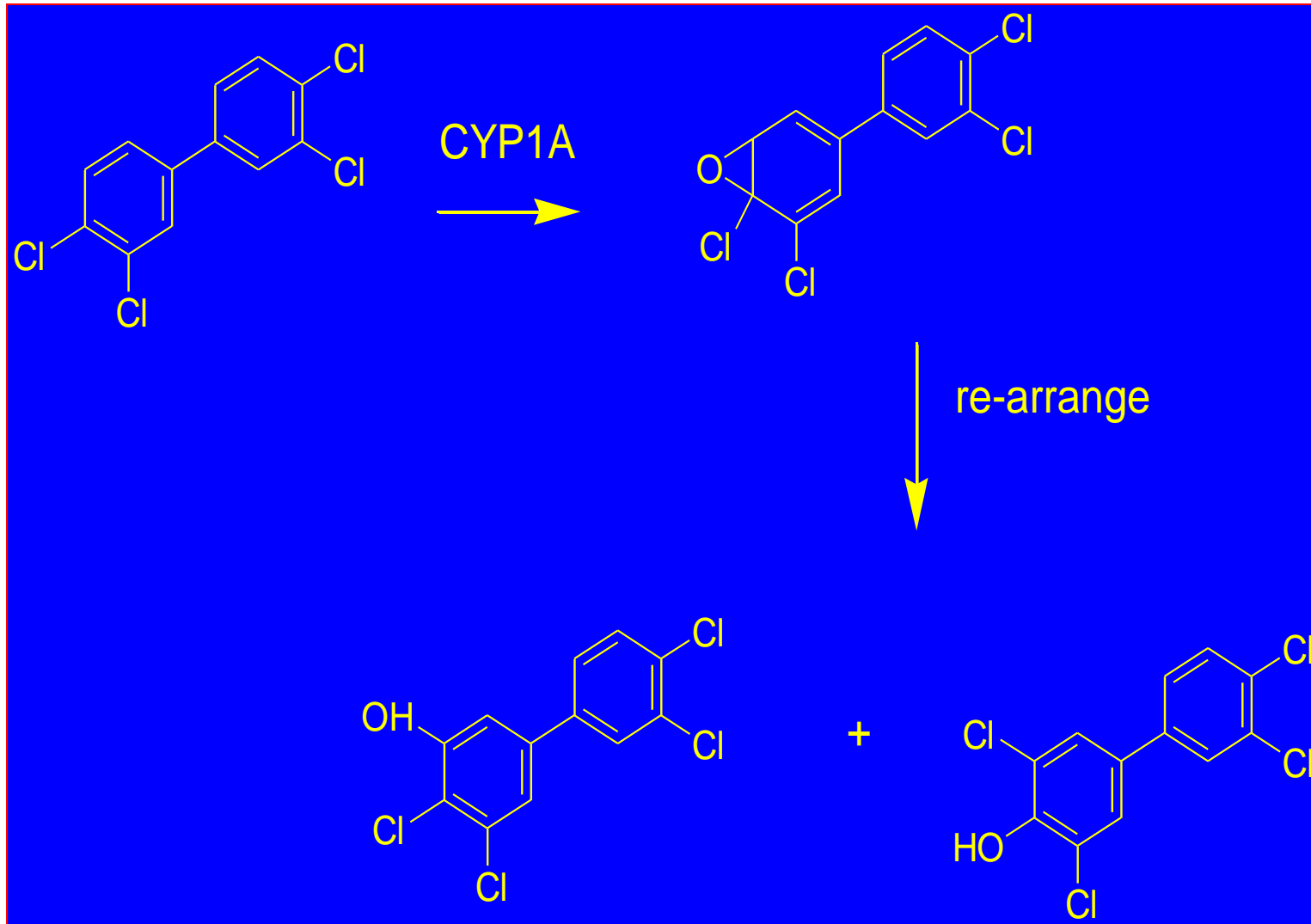
TCB je nejprve metabolizován cytochromem P450 (CYP1A) na epoxidy.

Epoxidy vznikající působením CYP mohou být přeměněny na hydroxylované metabolity, hydrolyzovány na dihydrodioly nebo reagovat s GSH.

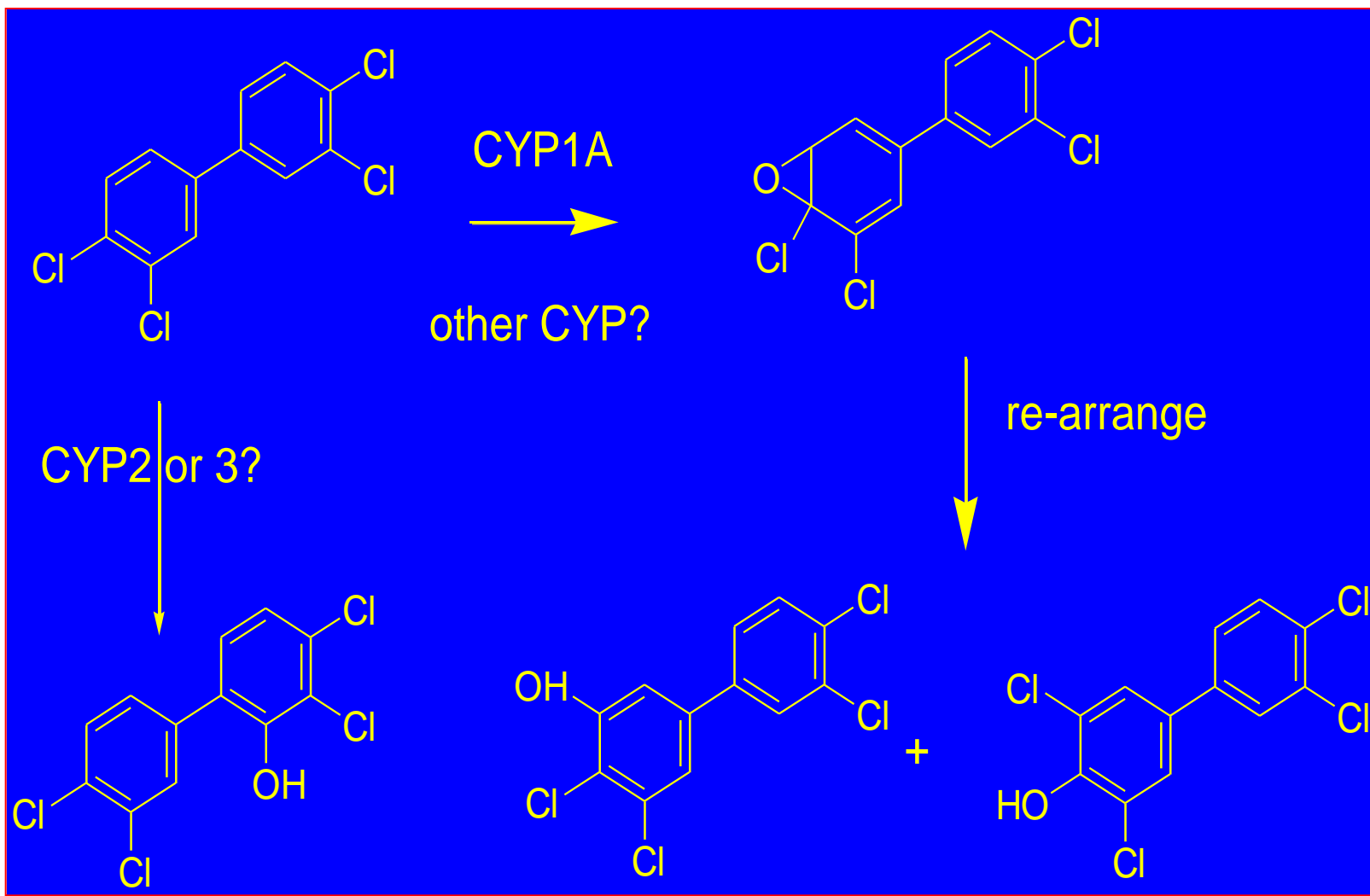
Hydroxylované metabolity mohou být oxydovány na katechol a hydrochinon metabolity nebo konjugovány na sulfáty nebo glukuronidy.

GSH konjugáty jsou přeměňovány na kyselinu merkapturovou nebo methylsulfonové metabolity.

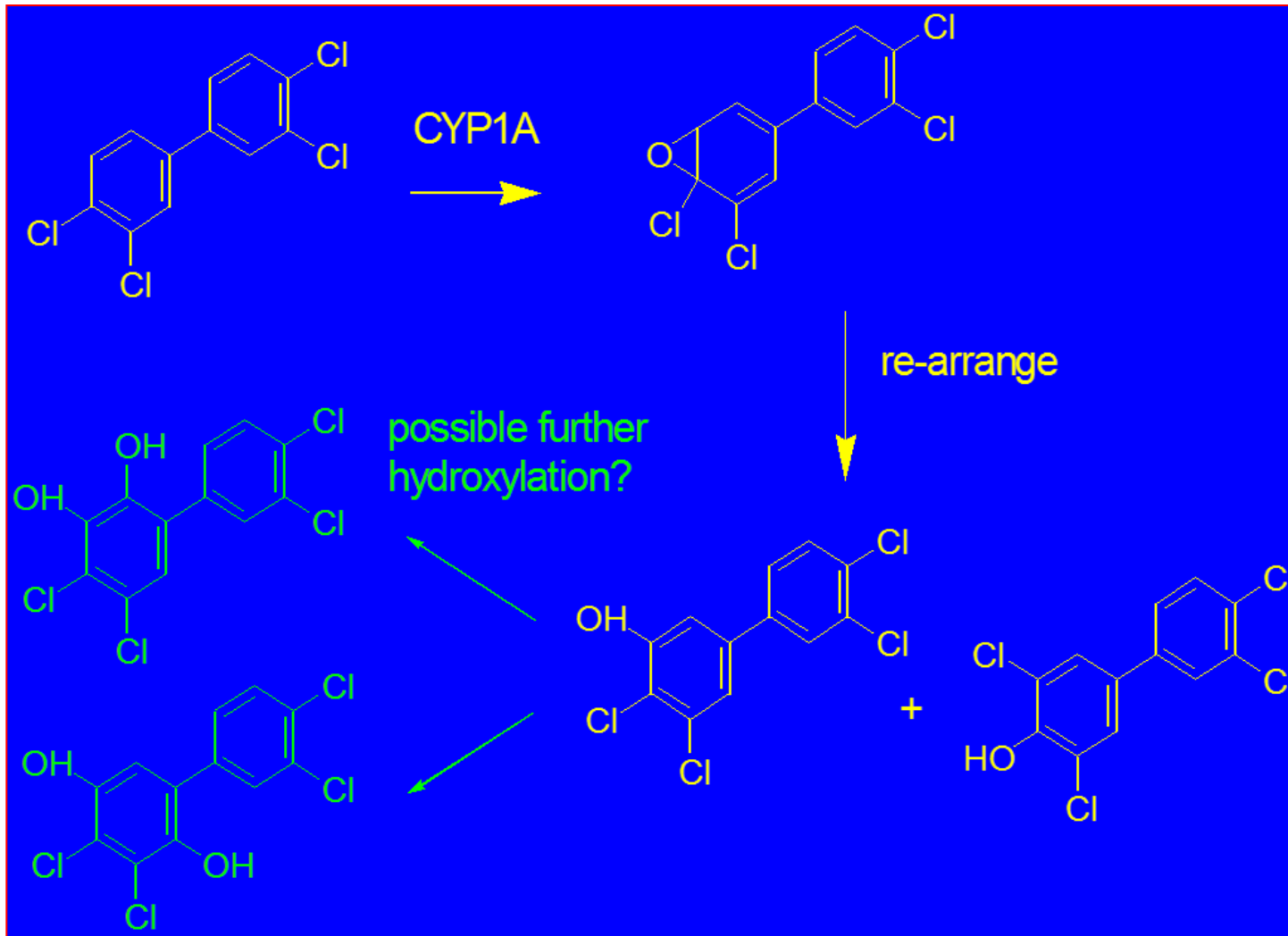
PCB-77



PCB-77



PCB-77



Lipofilita PCB metabolitů

Compound	Estimated lipophilicity
CB-77	5.8
4-hydroxy-CB77	5.4
Glucuronide of hydroxy-CB77	3.7
Sulfate of hydroxy-CB77	3.9
Glutathione conjugate of CB77	2.6
N-acetylcysteine conjugate of CB77	4.8
Methylsulfone of CB77	4.7

CB-77 is 3,3',4,4'-tetrachlorobiphenyl

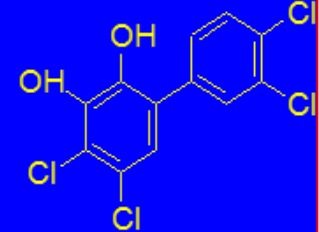
Lipofilita PCB metabolitů



$\log P 5.4$



$\log P 2.6$



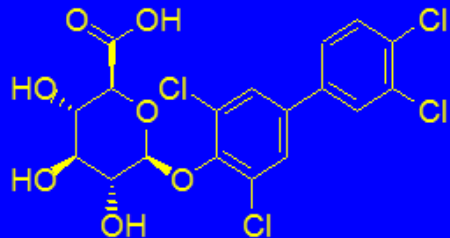
$\log P 5.0$



$\log P 4.7$



$\log P 4.8$

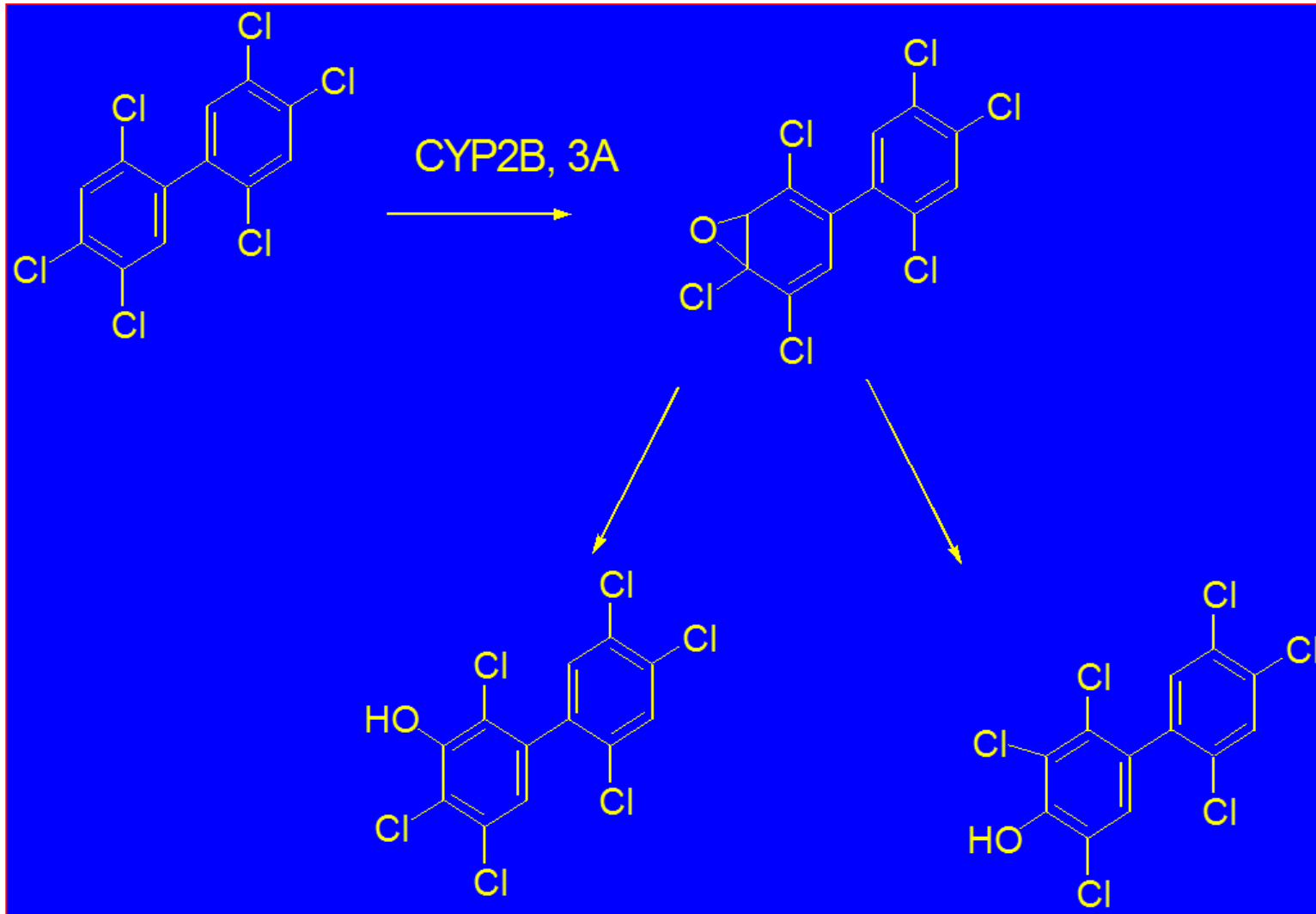


$\log P 3.7$



$\log P 3.9$

CB-153



Lipofilita PCB metabolitů

Compound	Estimated log P
CB-153*	7.1
mono-hydroxy-CB153	6.7
methylsulfone of CB153	5.8
glucuronide of hydroxy-CB153	5.2
sulfate of hydroxy-CB153	4.8
glutathione conjugate of CB153	3.7

* CB-153 is 2,2',4,4',5,5'-hexachlorobiphenyl

Druhové rozdíly

Vodní bezobratlí metabolizují všechny PCBs extrémně pomalu ve srovnání s vyššími organismy.

Ryby vykazují rozdíly mezi druhy a organismy pokud jde o schopnost metabolizovat PCBs se stejnými trendy jako v případě vyšších obratlovců.

Hmyz může metabolizovat některé PCBs velmi účinně.

Savci metabolizují non-ortho PCBs rychleji než ortho-substituované PCBs.

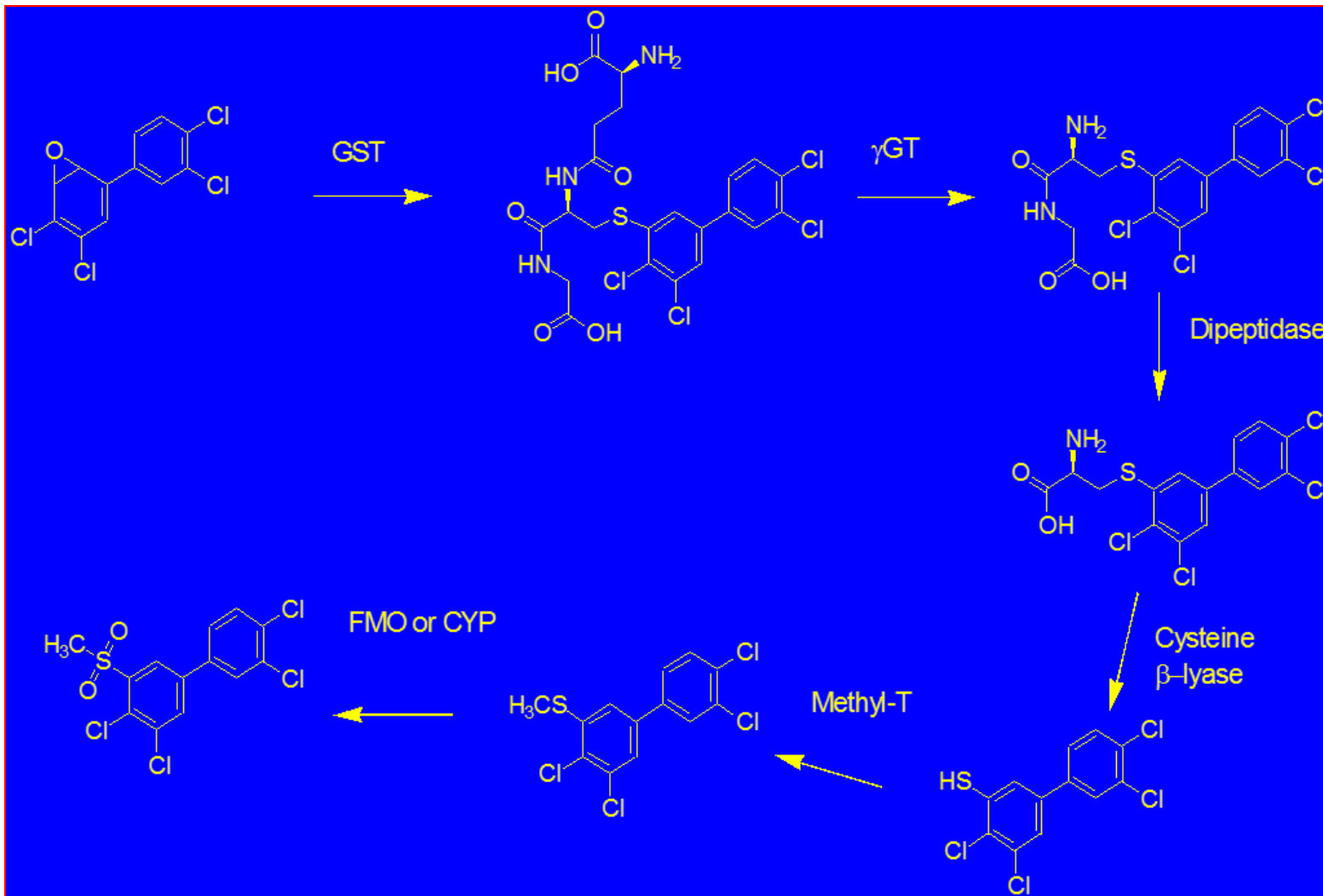
Vlastnosti hydroxylovaných PCBs

Hydroxylované PCB mohou tvořit glukuronidové a sulfátové konjugáty a mohou být snadněji vylučovány močí a žlučí.

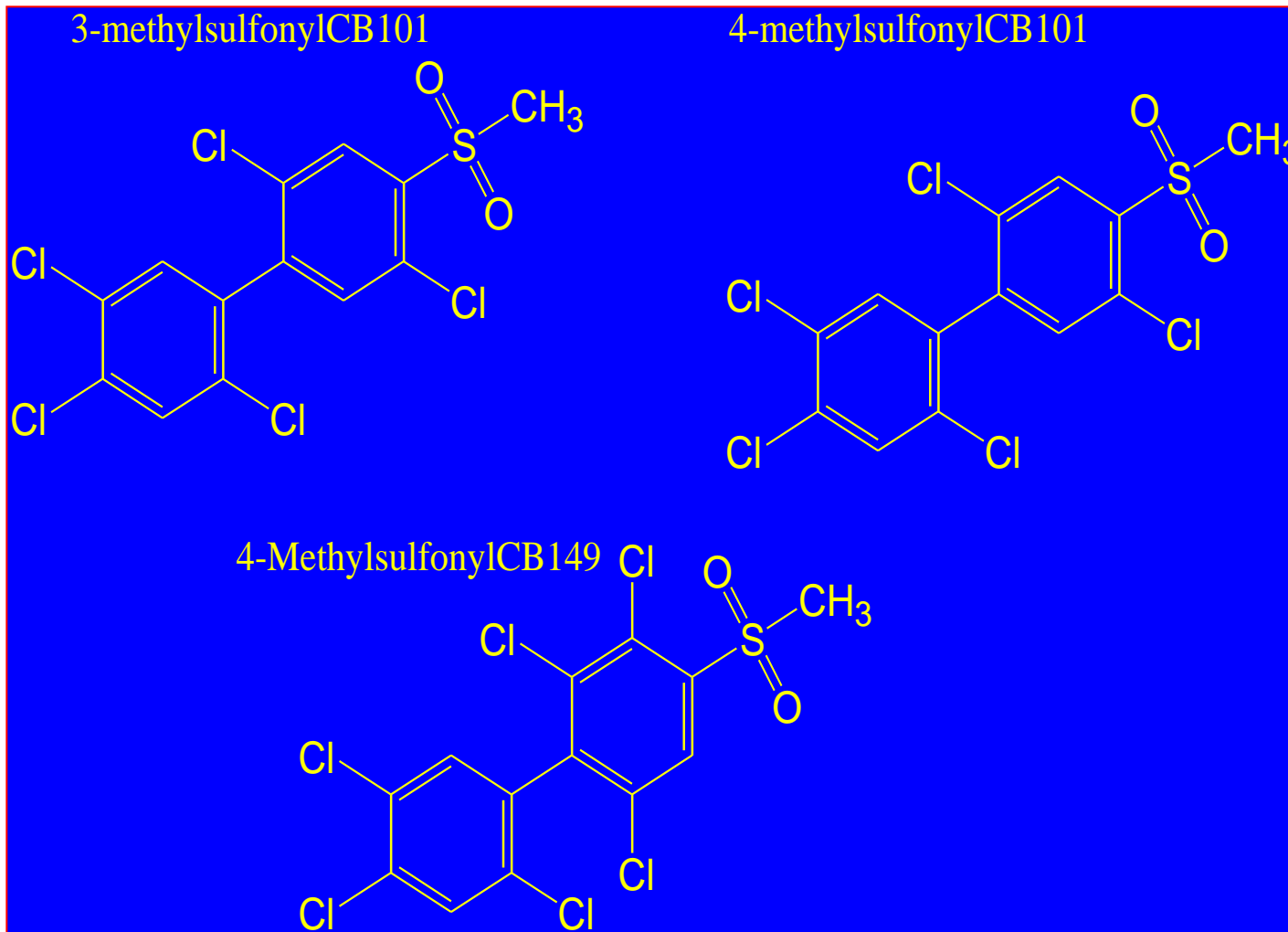
m- a *p-* hydroxylované PCB vázané na proteiny plasmy, nejsou přijímány játry či jinými orgány a nedochází tak k jejich konjugaci.

Hydroxylované PCBs nejsou vhodnými substráty pro glukuronidizaci a sulfonaci.

Methylsulfonové metabolismy



Některé persistentní MeSO₂ metabolity



Vlastnosti methylsulfonů PCBs

Některé 3-methylsulfon metabolismy jsou přednostně zadržovány v játrech.

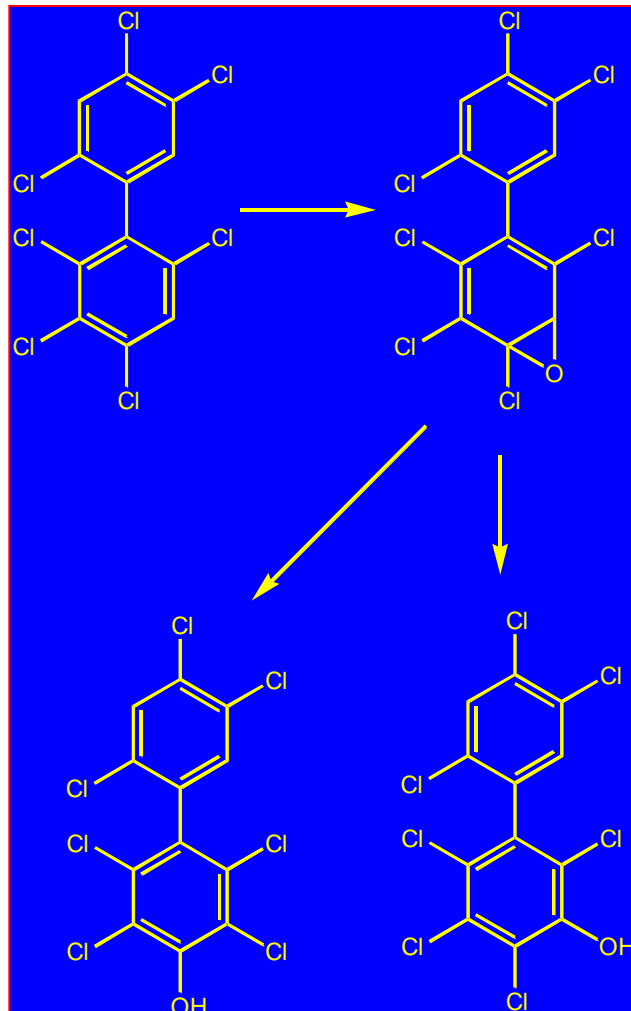
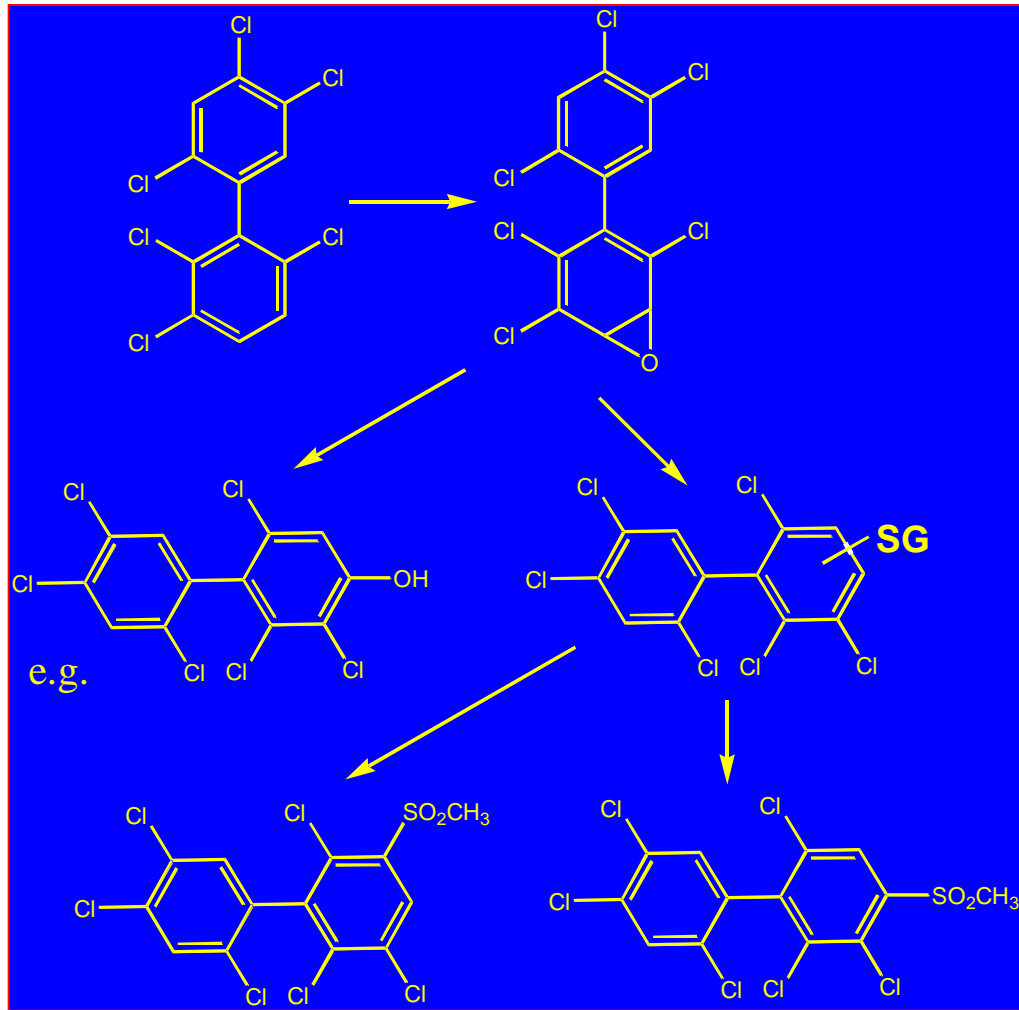
Některé 4-methylsulfony se kumulují v tucích a byly nalezeny v mléce.

Persistentní 3- a 4-methylsulfony jsou obtížně vylučovány močí a výkaly.

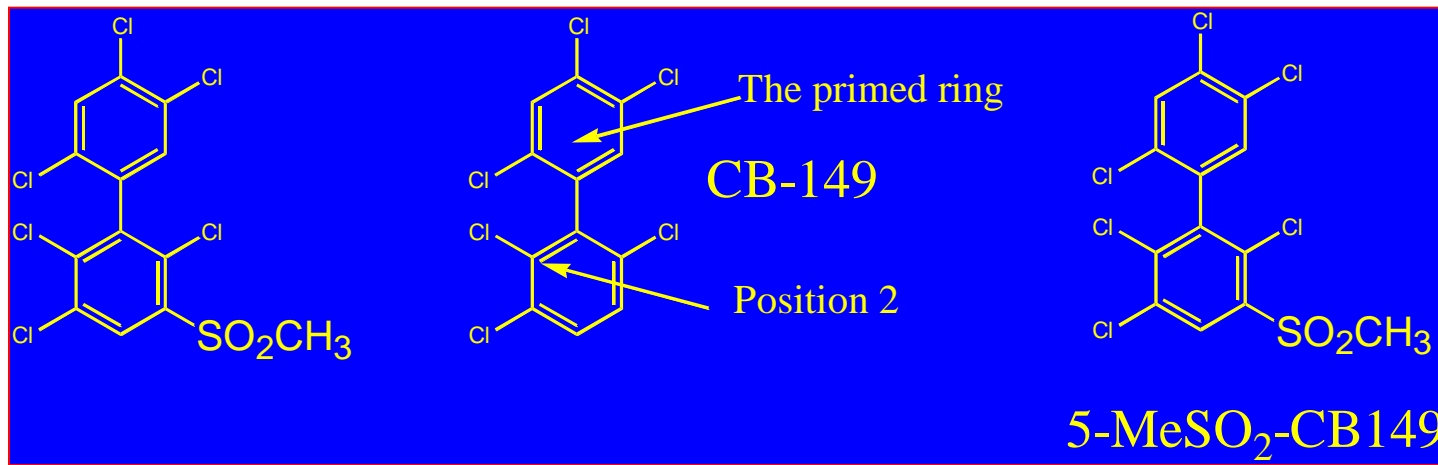
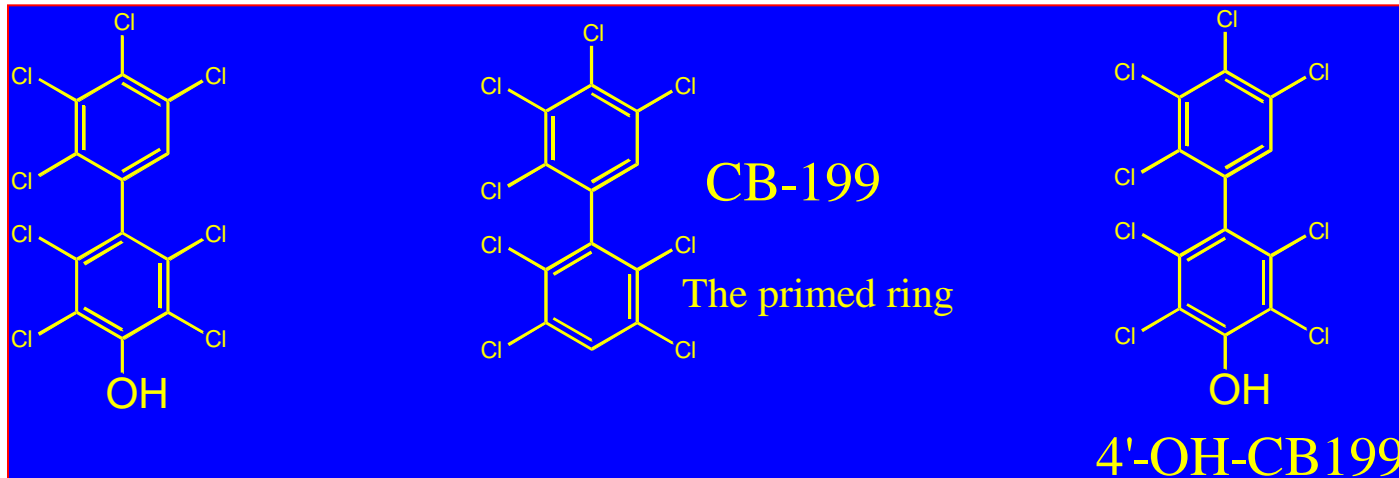
PCB s 2,5-dichlor- nebo 2,3,6-trichlor-fenylovým kruhem tvoří methylsulfonové metabolismy persistentní v tkáních.

Některé methylsulfonové metabolismy se bioakumulují v potravních řetězcích.

Metabolismus PCBs



Názvosloví PCB metabolitů



Polychlorované bifenyly - výskyt v prostředí

OH-PCBs ve volně žijících organismech



6 - 30 ng.g⁻¹ ww[#]



2 - 20 ng.g⁻¹ ww[¤]



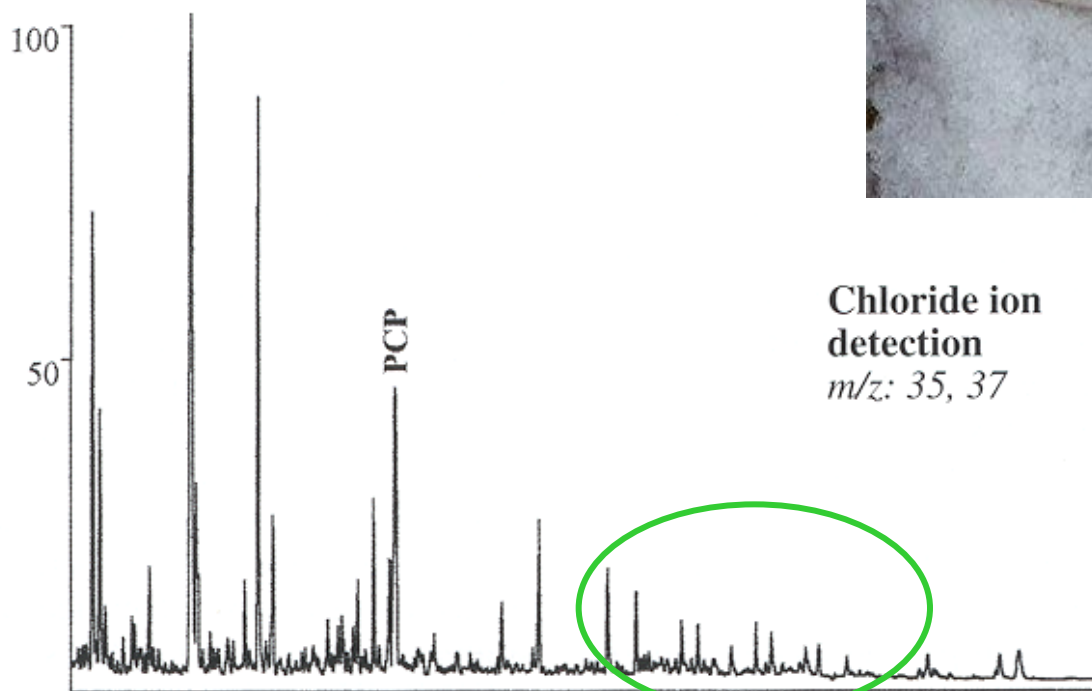
26 - 440 ng.g⁻¹ w w *

Klasson-Wehler *et al.*, *ET&C*, 17 (1998) 1620

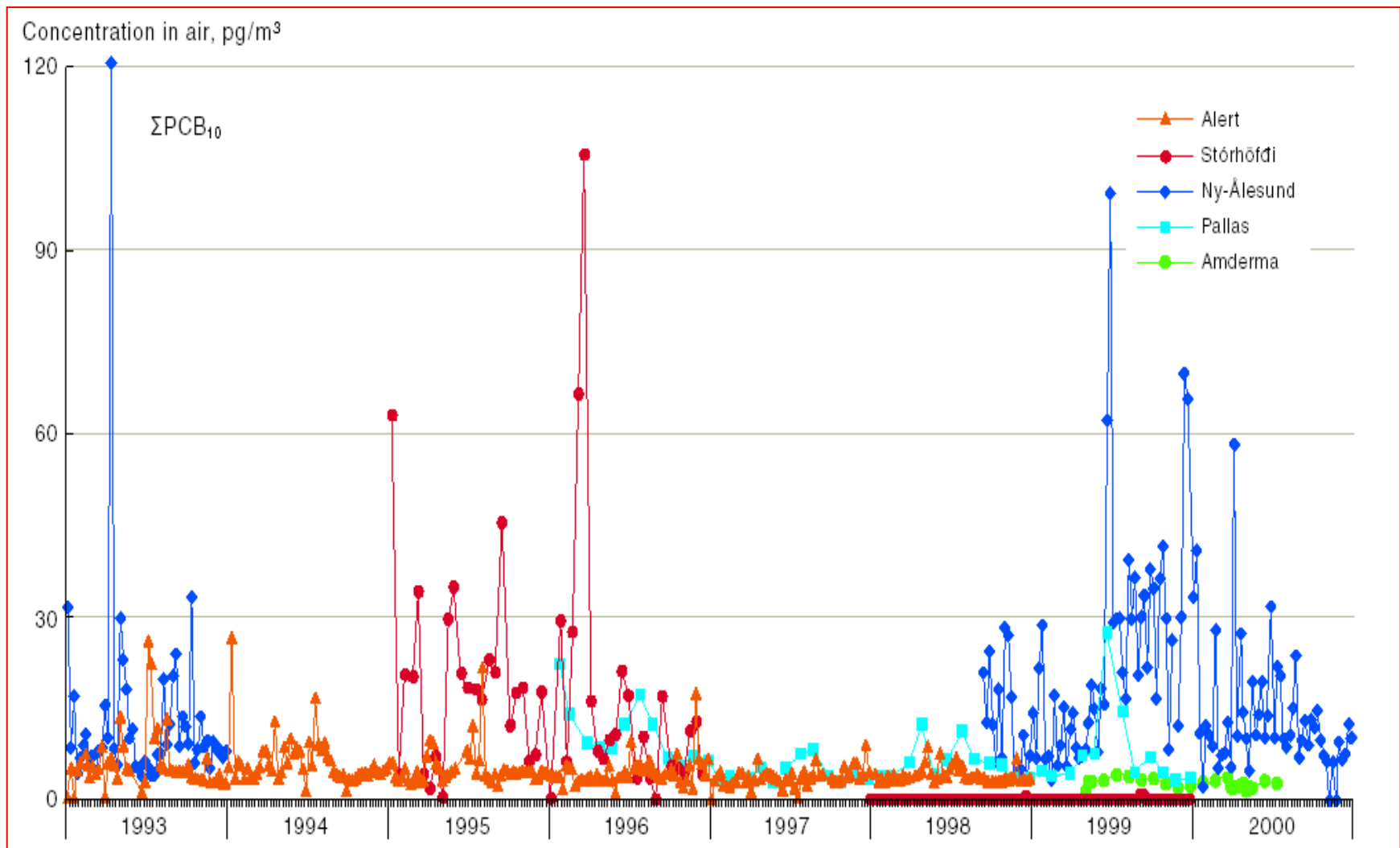
* Sandau *et al.*, Proc. Third Biennial Int. Conf. on Chem. Measur. and Monit. of the Envir., 247-252. 2000.

¤ Olsson *et al.*, *ES&T*, 34 (2000) 2733

OH-PCBs v lososech



Časové trendy PCBs ve volném ovzduší



PCBs ve volném ovzduší

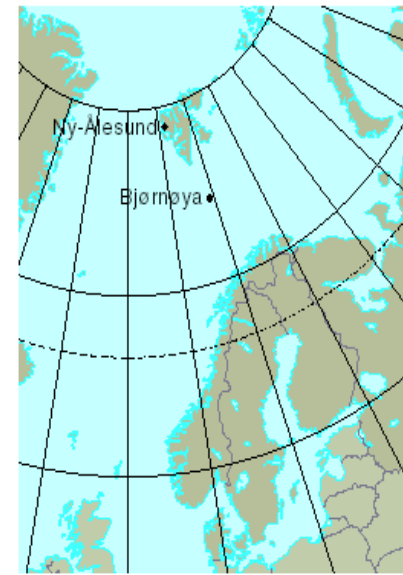
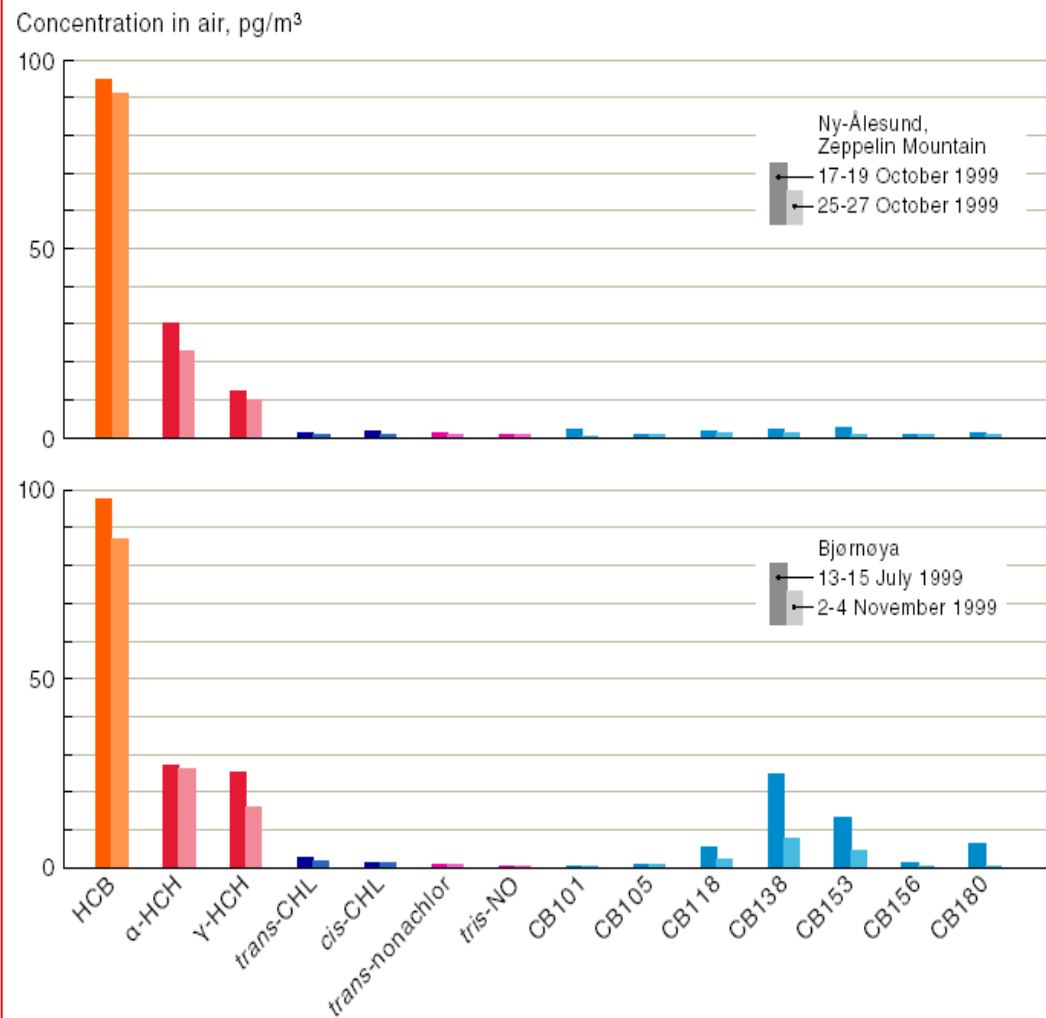
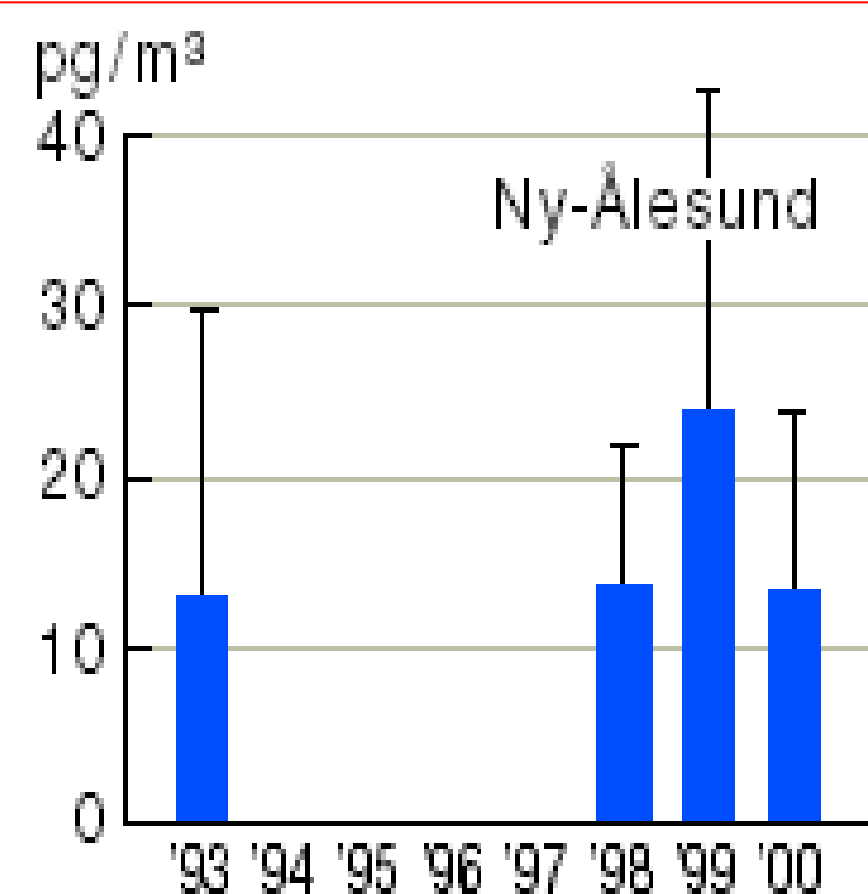
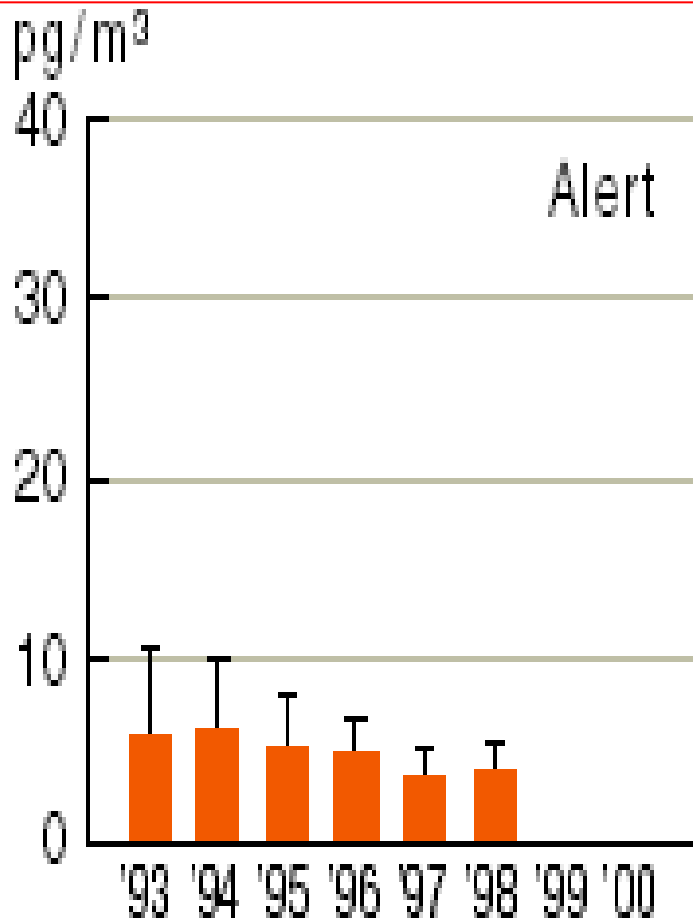


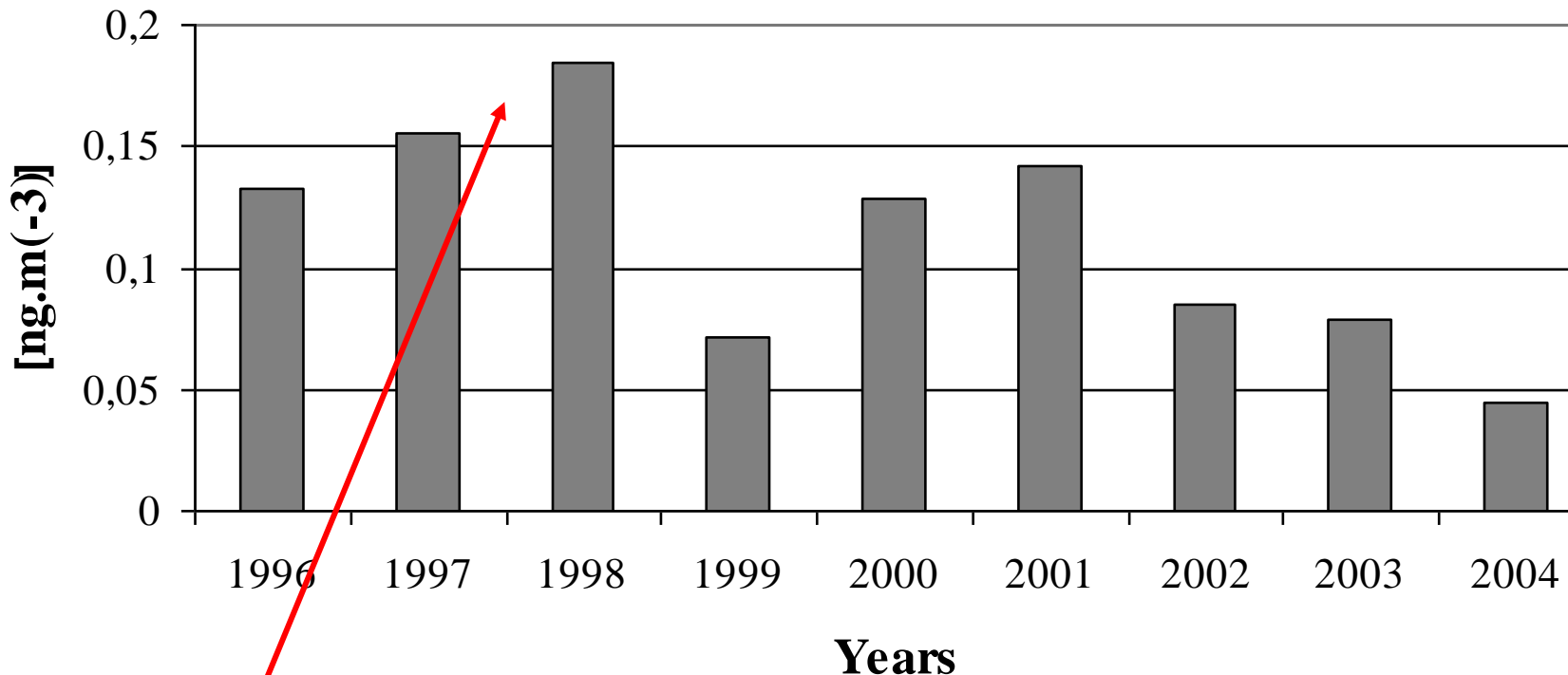
Figure 4-6. POP concentrations in ambient air from the Bjørnøya (Bear Island) meteorological station and the 'Zeppelin Mountain' atmospheric research station at Ny-Ålesund (Svalbard) in 1999.

Časové trendy koncentrací PCBs ve volném ovzduší



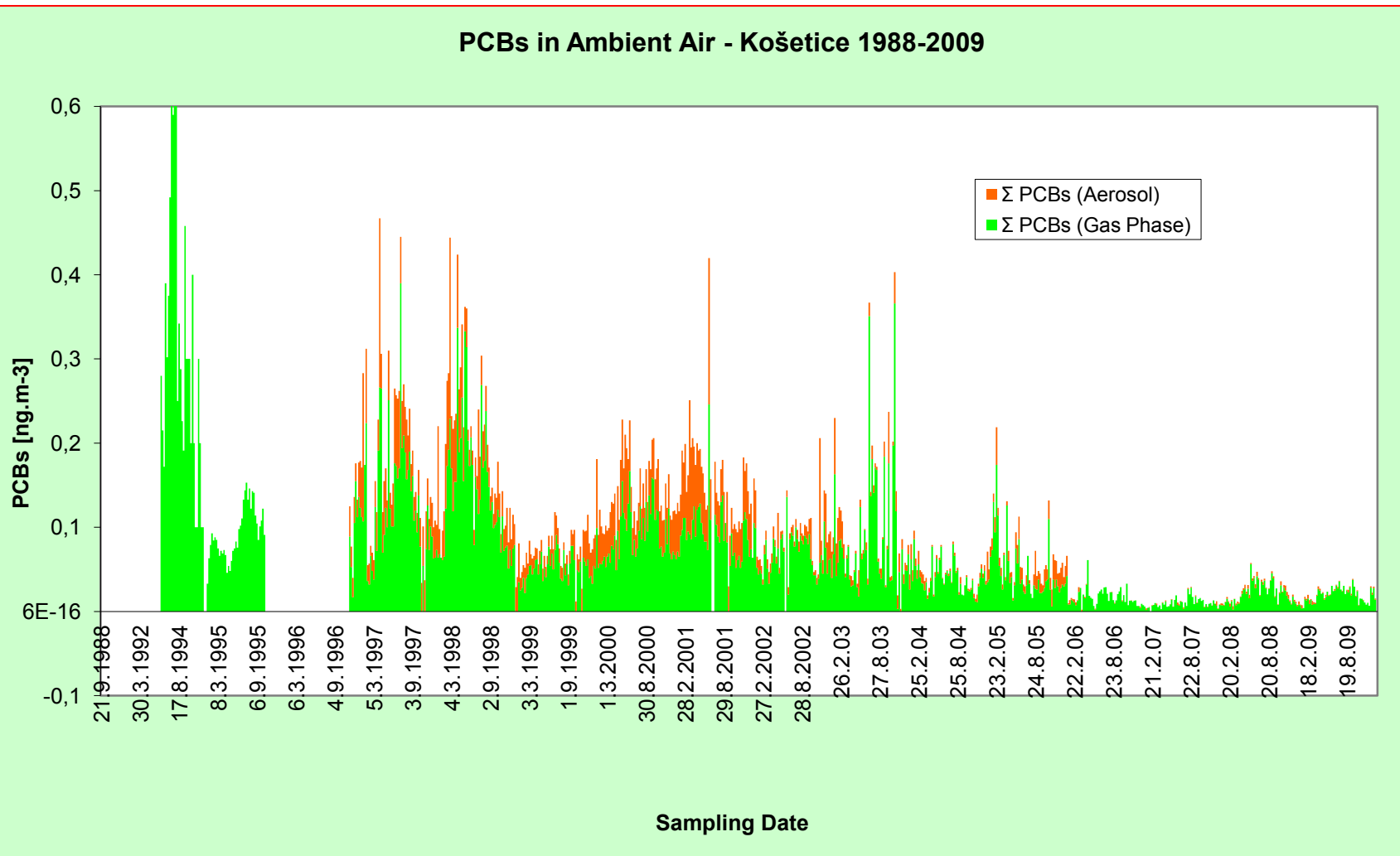
Σ 7 PCBs ve volném ovzduší, observatoř Košetice, časové trendy, mediány, vzorkování jednou týdně, 1996 - 2004 [ng.m⁻³]

Air (Aerosol + Gas Phase), Σ PCBs medians, Košetice, CR



Vliv povodní na Moravě, 1997 ???

Σ 7 PCBs ve volném ovzduší, observatoř Košetice, vzorkování jednou týdně, 1988 - 2009 [ng.m⁻³]



PCBs ve dvou jezerech, Bear Island

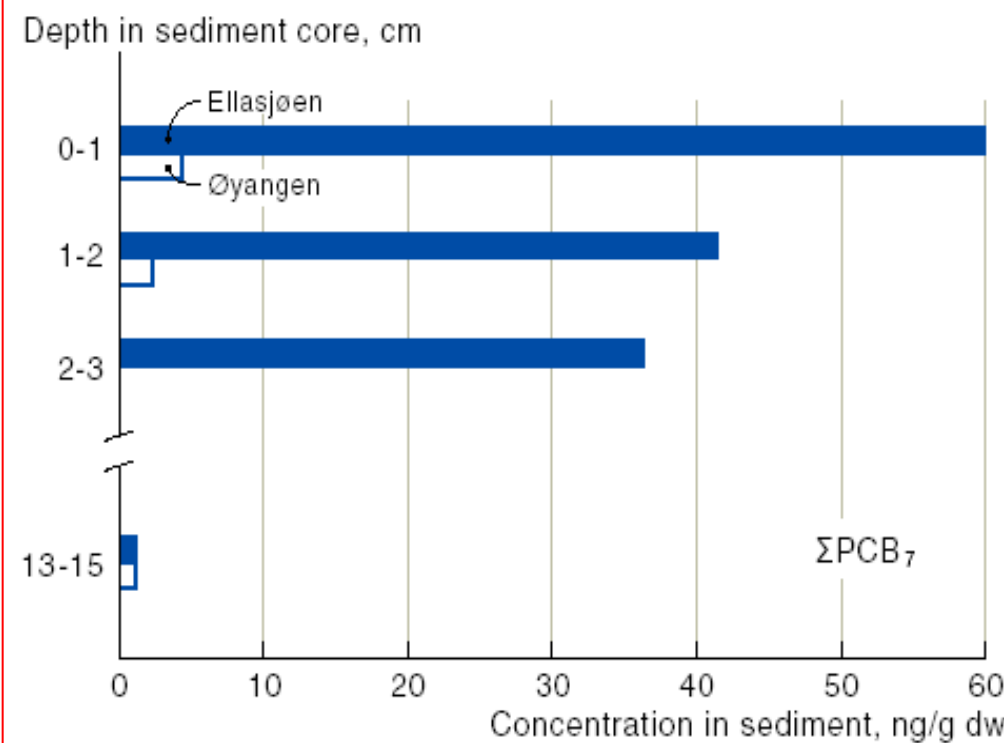


Figure 5·19. ΣPCB_7 concentrations in sediment cores sampled from the lakes Ellasjøen and Øyangen on Bjørnøya in July, 1996 (Evenset *et al.*, 2002).

POPs v arktické tresce

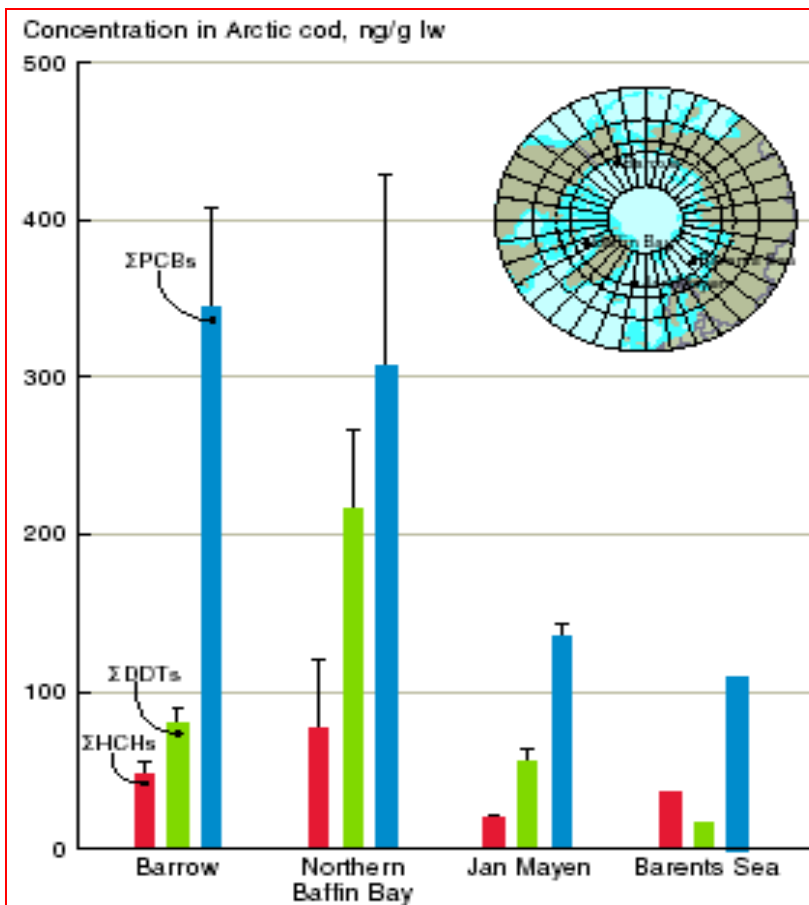
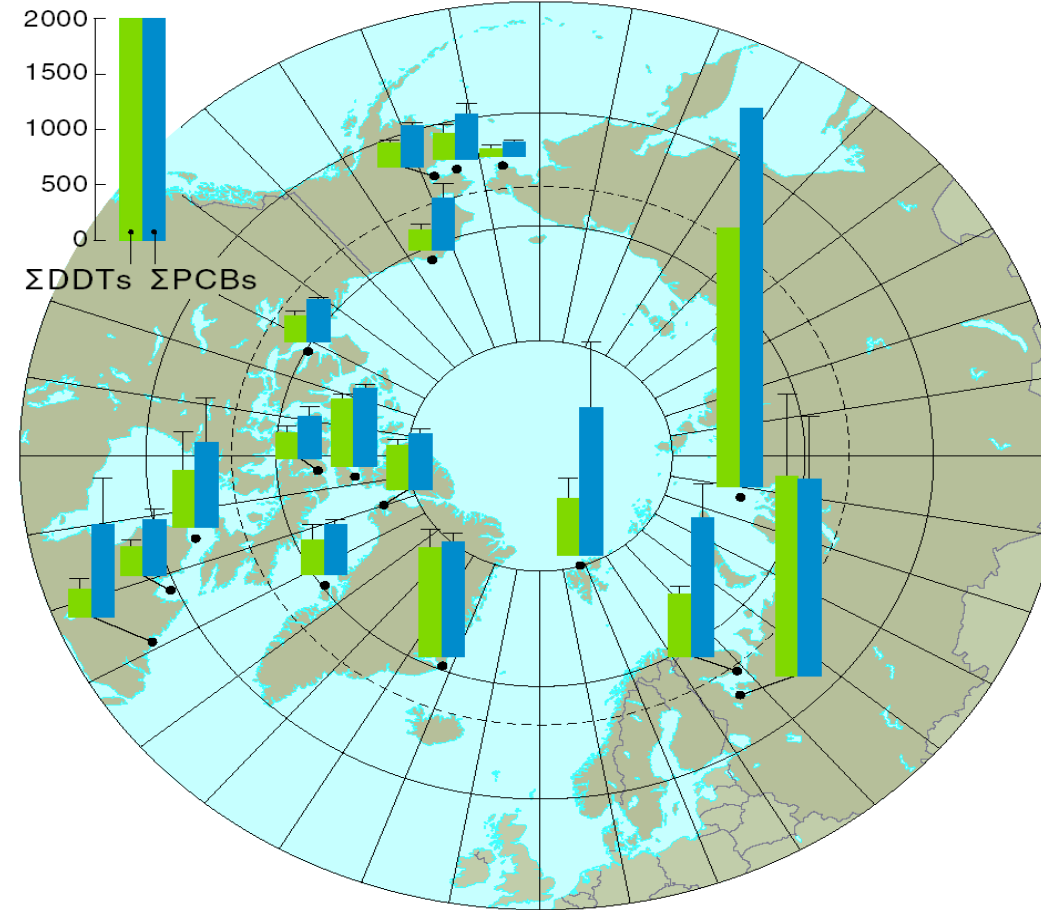


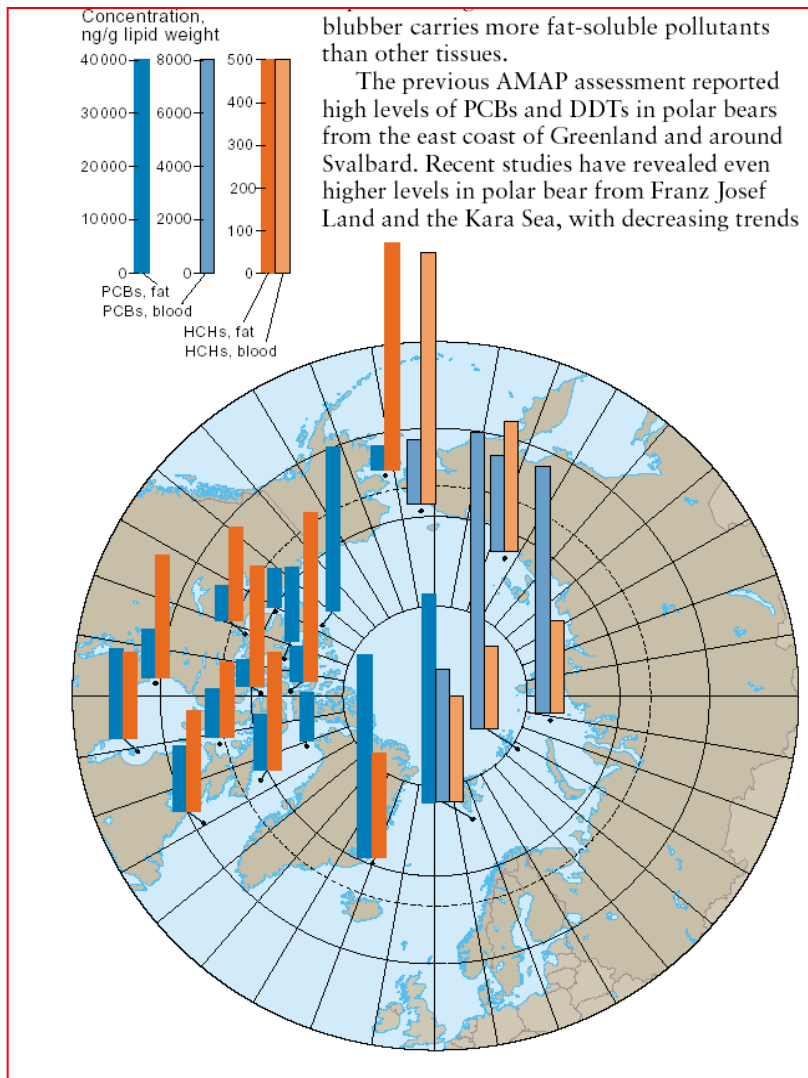
Figure 4-39. Concentrations (\pm SD) of Σ HCHs, Σ DDTs, and Σ PCBs in Arctic cod collected in Barrow, Alaska (Hoekstra, 2002b), northern Baffin Bay (Fisk *et al.*, 2001c), Jan Mayen (Gabrielsen *et al.*, 1997), and that Barents Sea (Borgå *et al.*, 2001).

PCBs a DDTs v tuku s tuleňů

Concentration in ringed seal blubber,
ng/g lw



Hladiny PCBs a HCHs v polárních medvědech

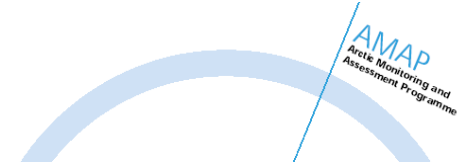


blubber carries more fat-soluble pollutants than other tissues.

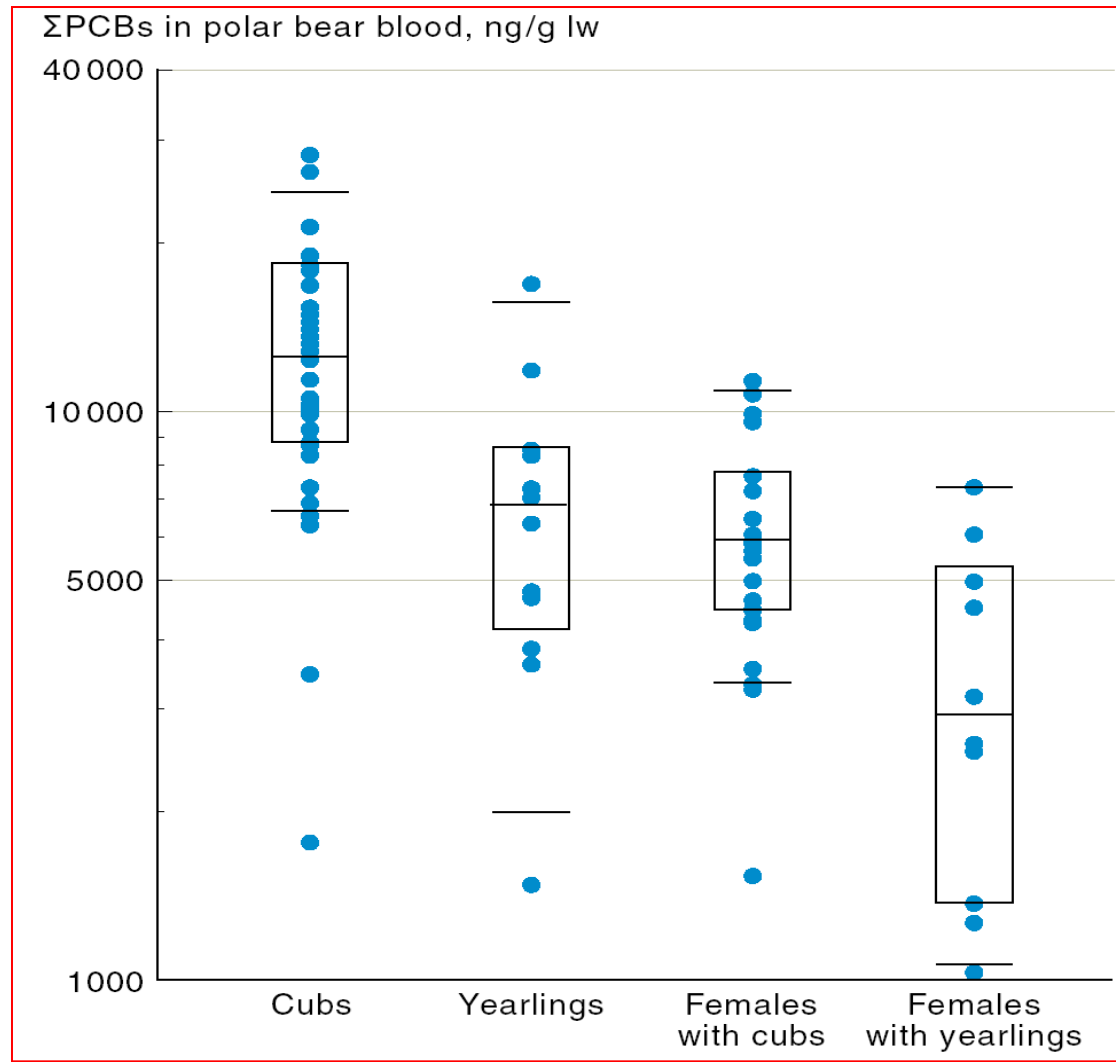
The previous AMAP assessment reported high levels of PCBs and DDTs in polar bears from the east coast of Greenland and around Svalbard. Recent studies have revealed even higher levels in polar bear from Franz Josef Land and the Kara Sea, with decreasing trends



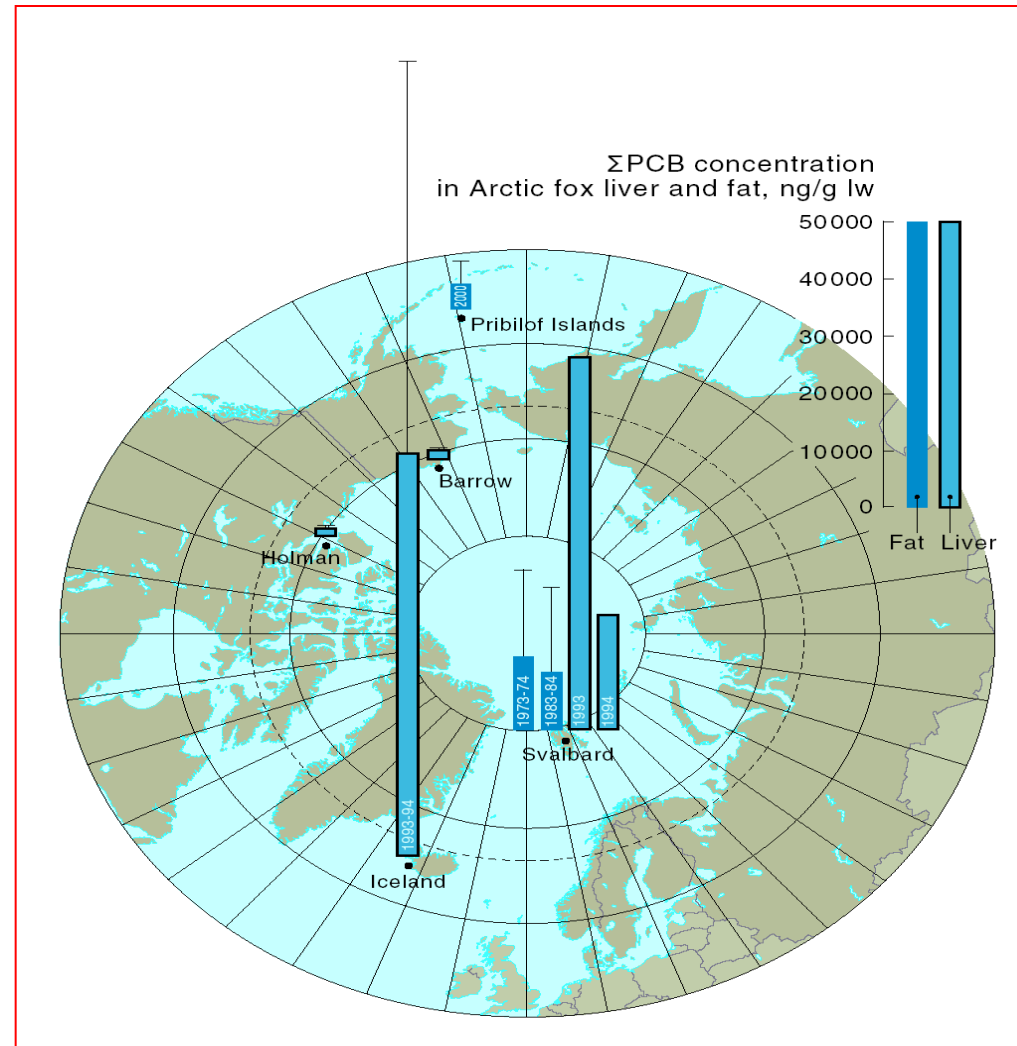
THOMAS NILSEN



PCBs v krvi polárních medvědů



PCBs v arktických liškách (játra, tuk)



PCBs v bobulích, lišejnicích, meších a půdách

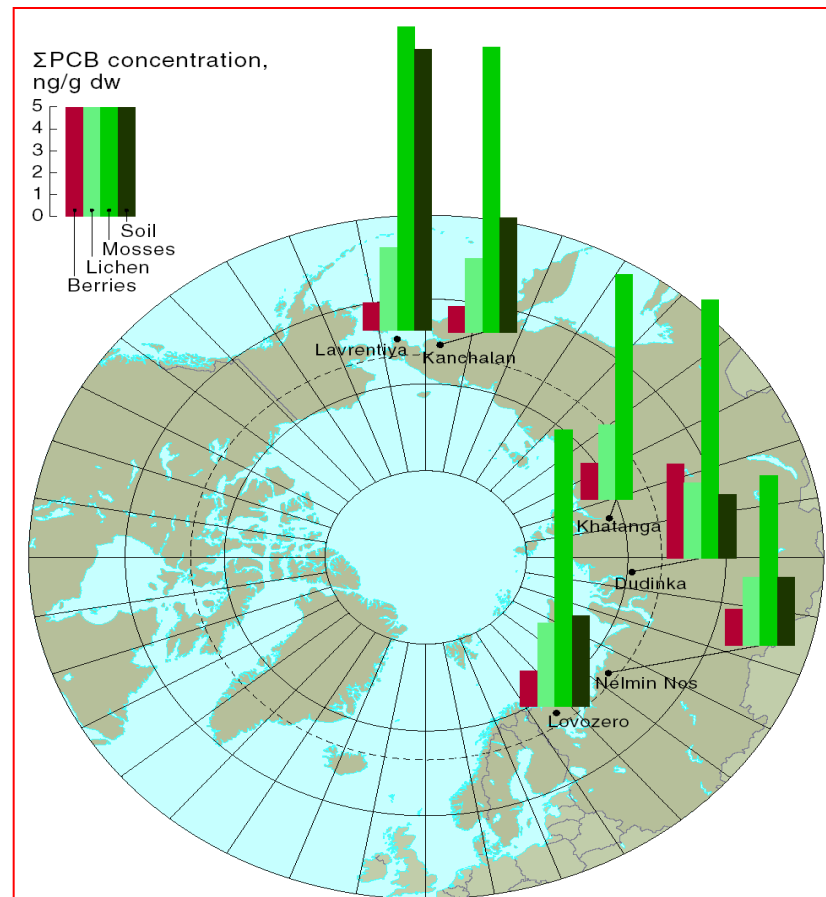
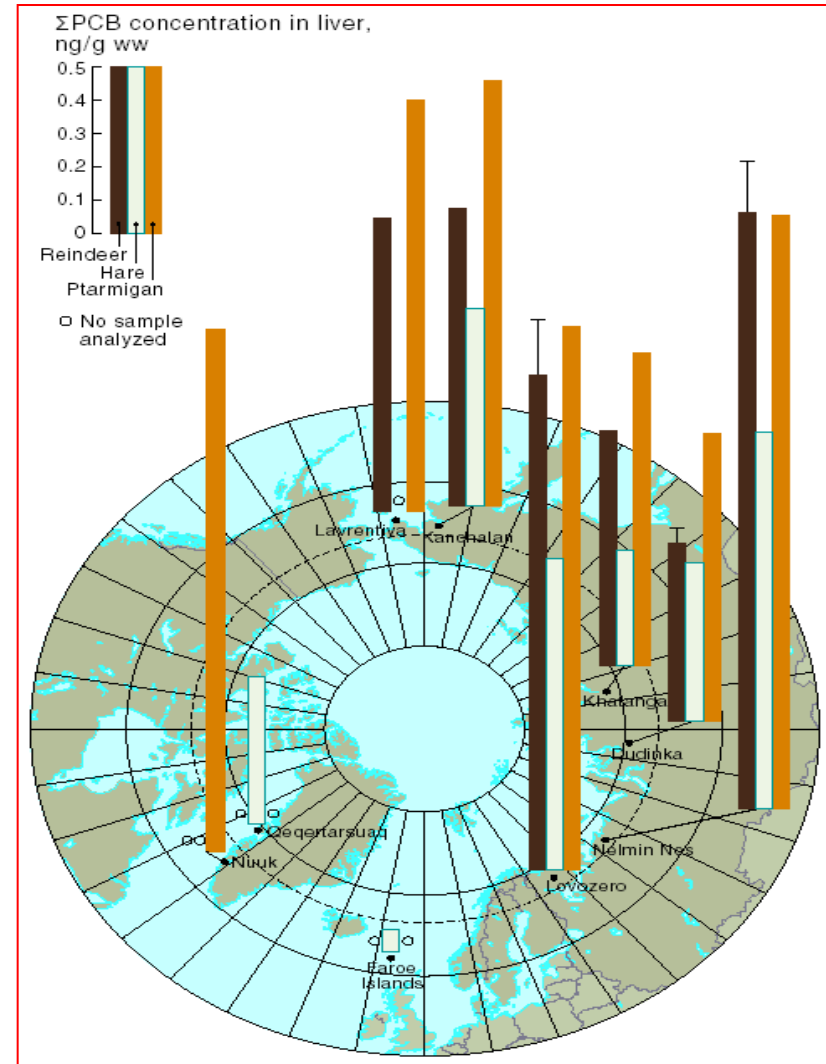


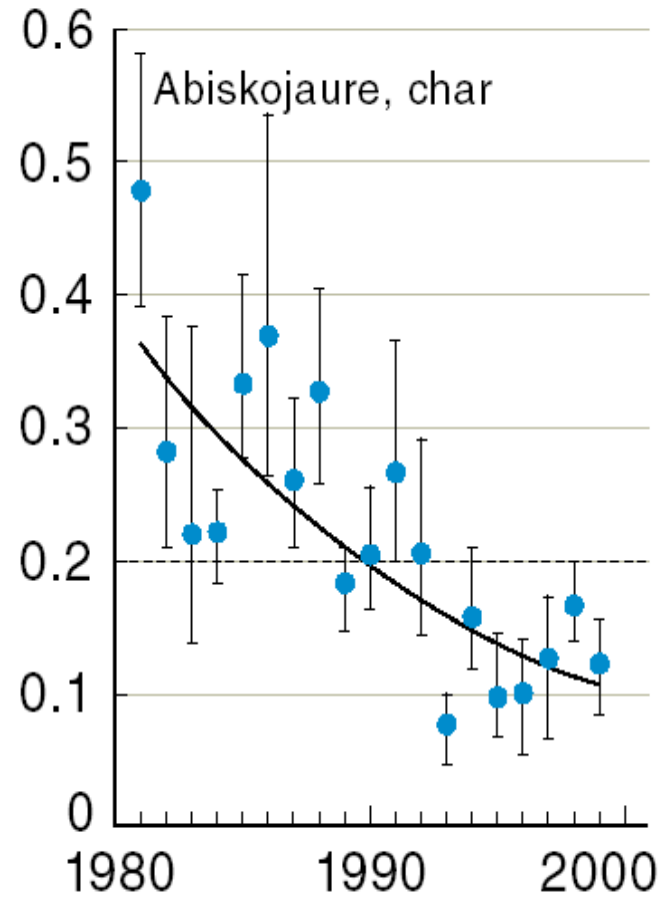
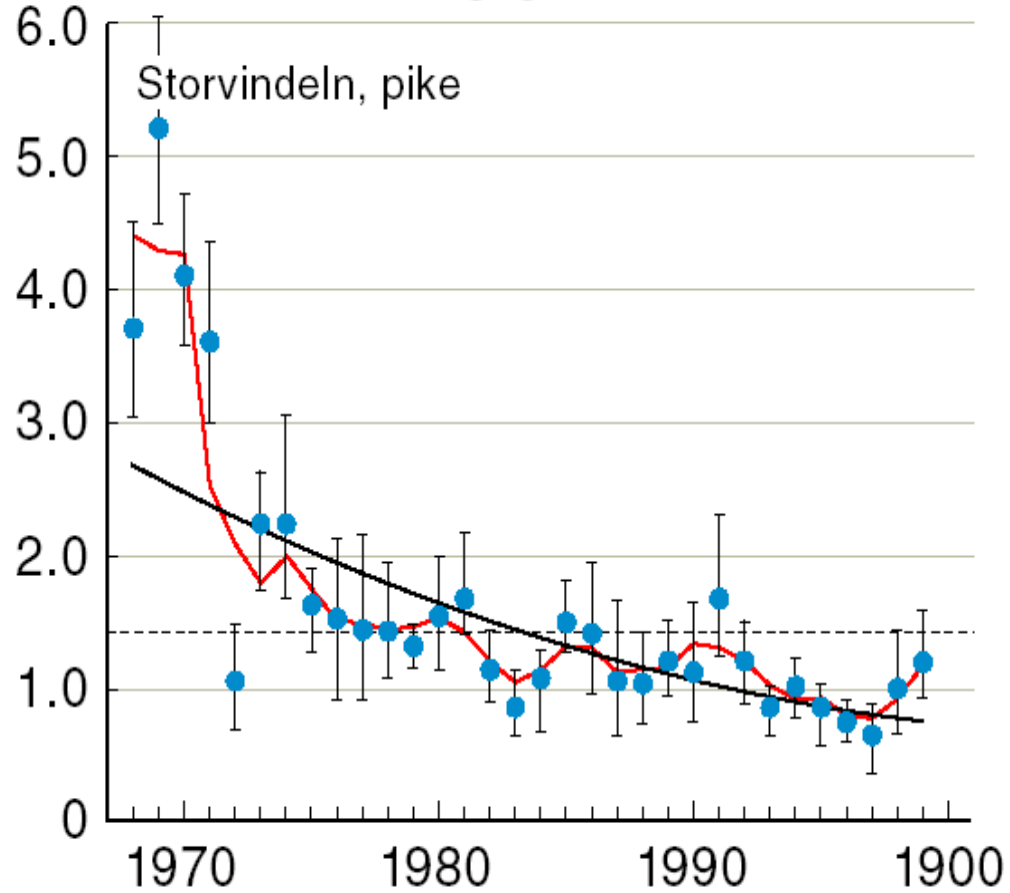
Figure 4.12. Concentrations of Σ PCBs in berries, lichens, mosses, and soils from regions in Arctic Russia (RAIPON/AMAP/GEF Project, 2001). All samples are pools of numerous samples collected in 2000-2001. Species included in each vegetation group are given in Annex Table 4.

PCBs v sobech, zajících a bělokurech

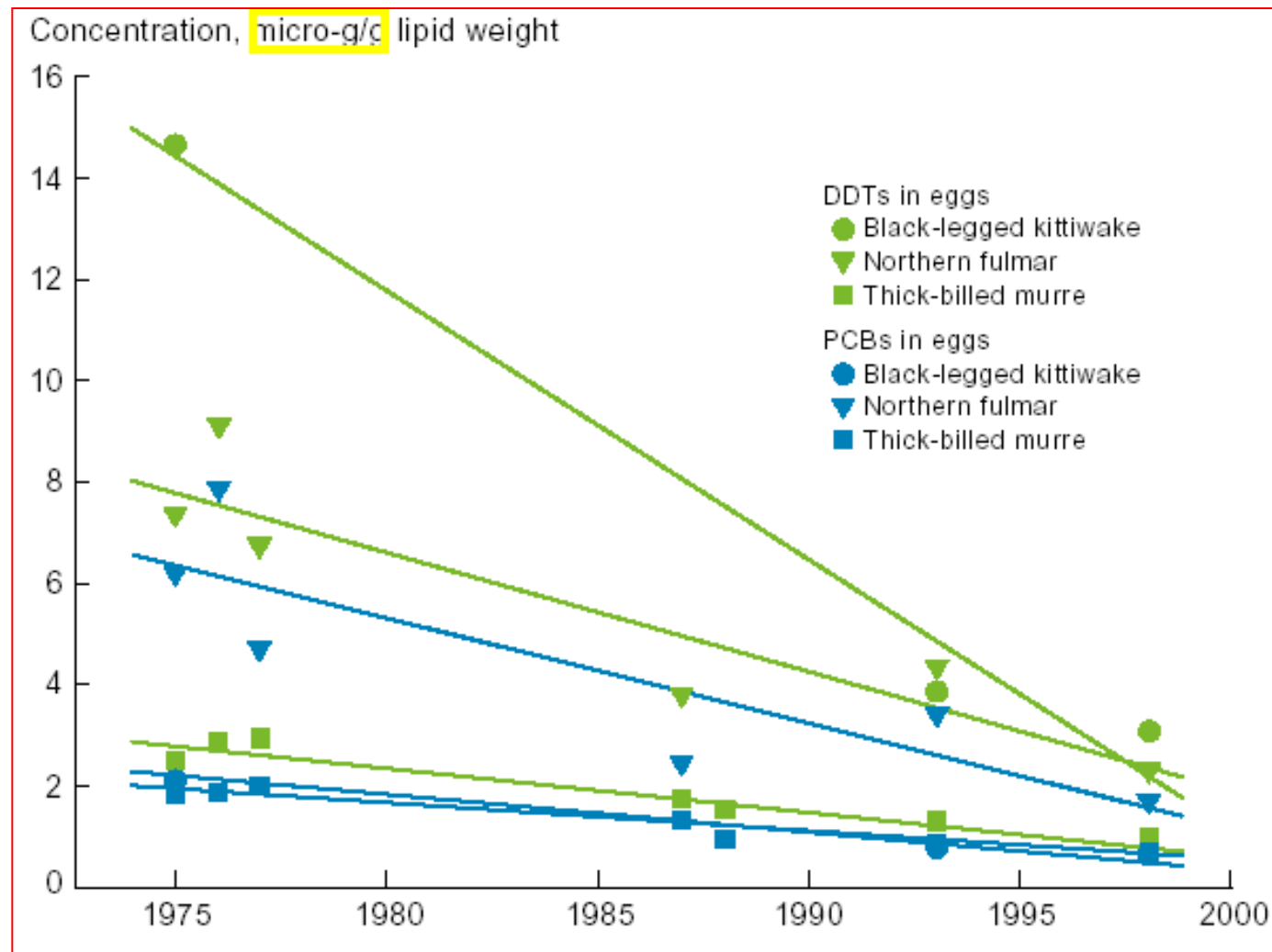


PCBs ve svalovině štík a sivenů

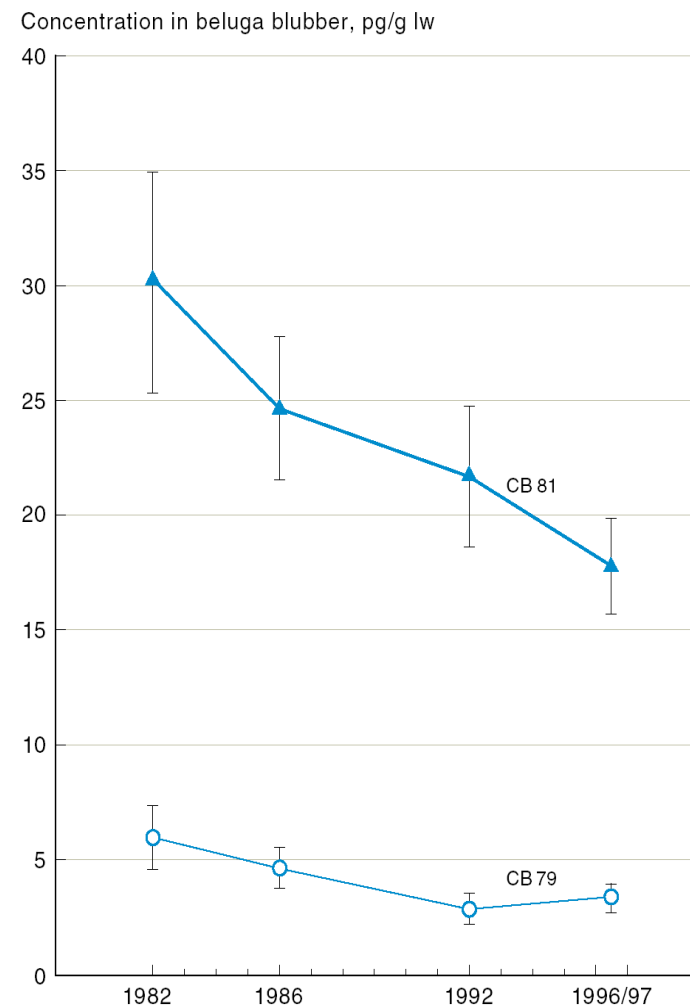
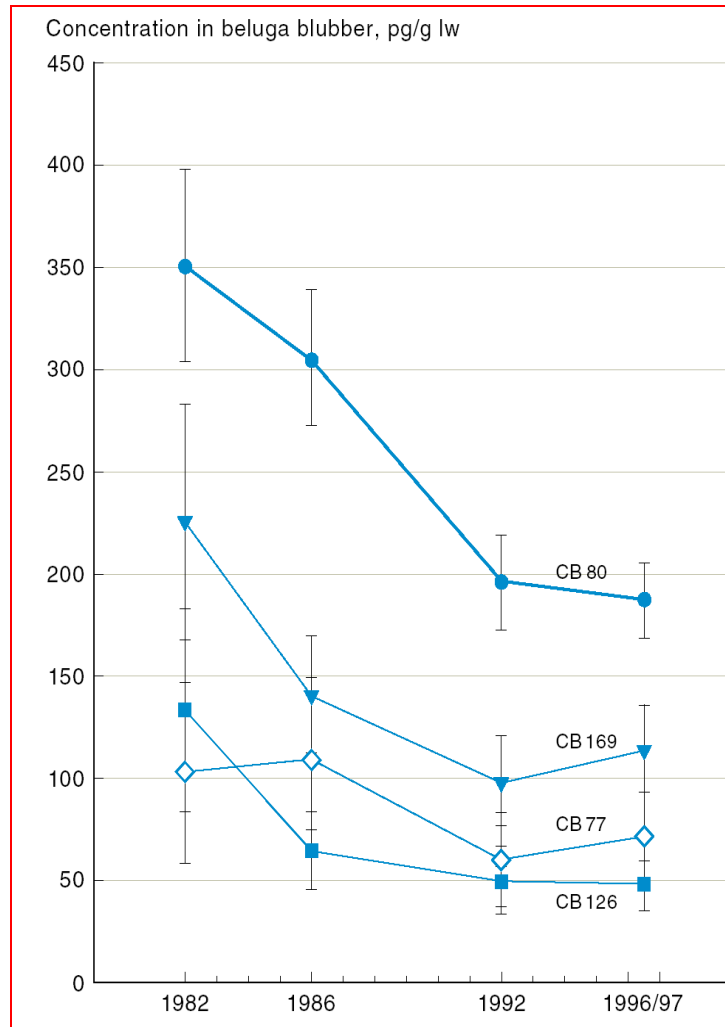
Σ PCBs in muscle, $\mu\text{g/g}$ lw



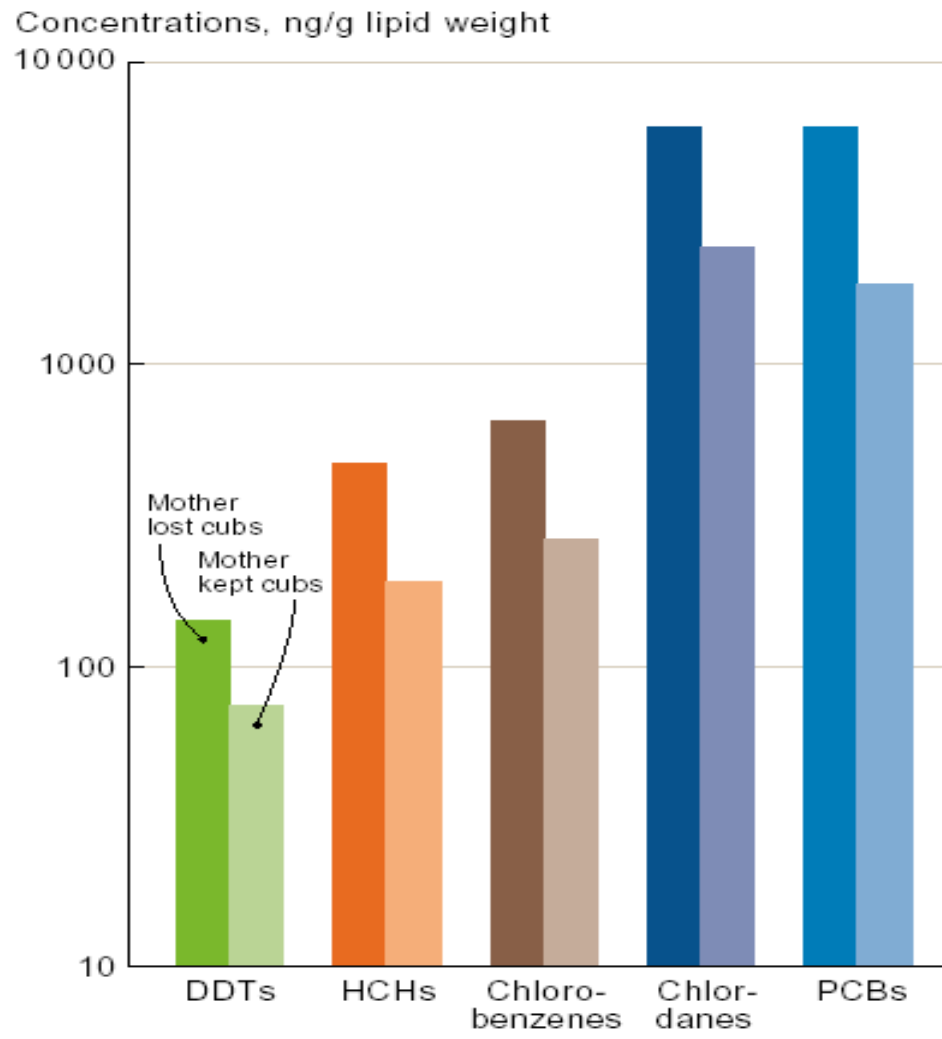
Trendy PCB a DDT ve vejcích



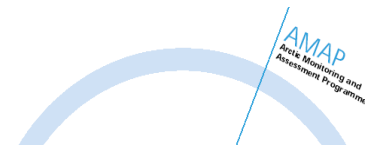
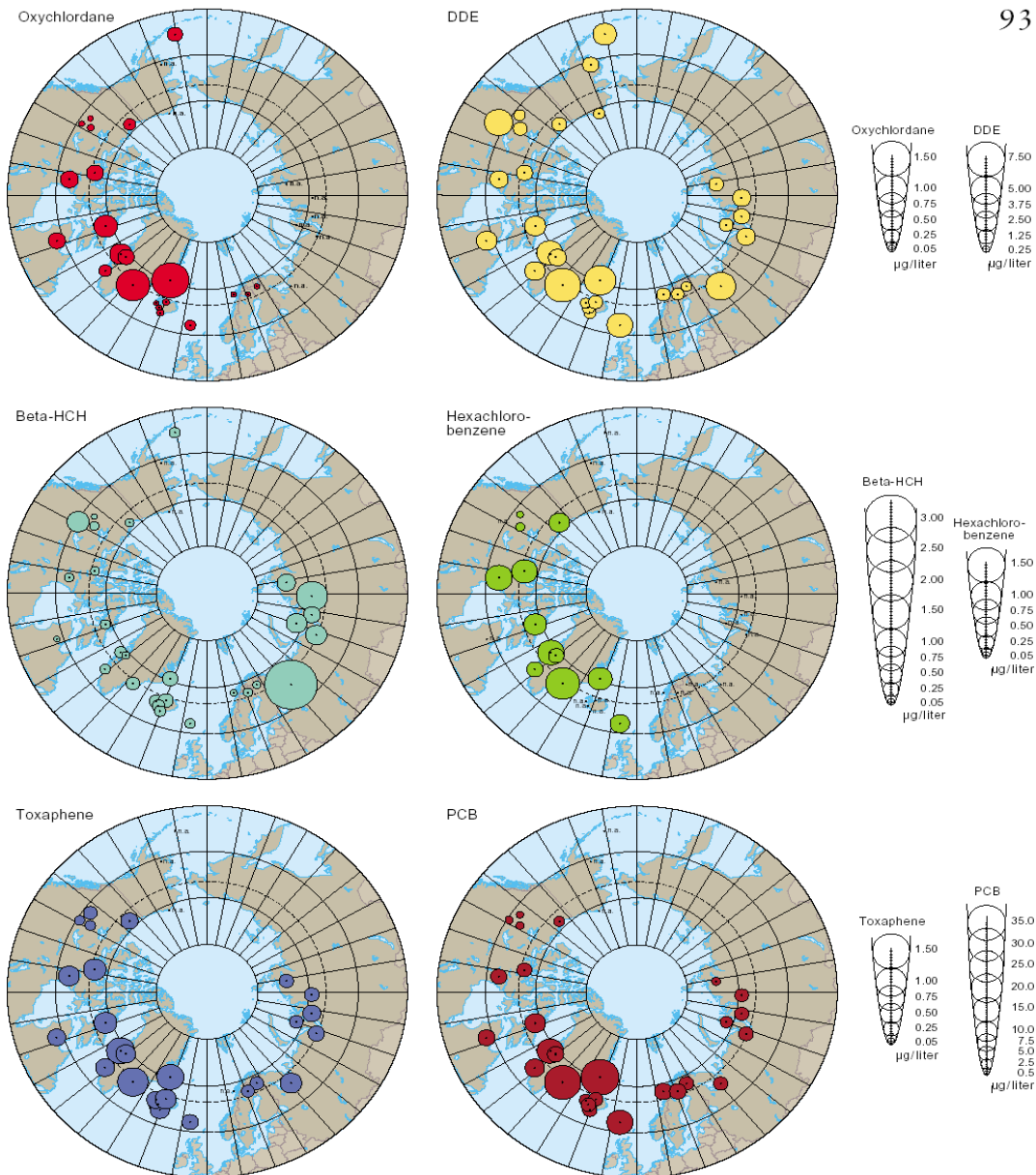
PCBs ve velrybách



Účinky POPs na reprodukci polárních medvědů

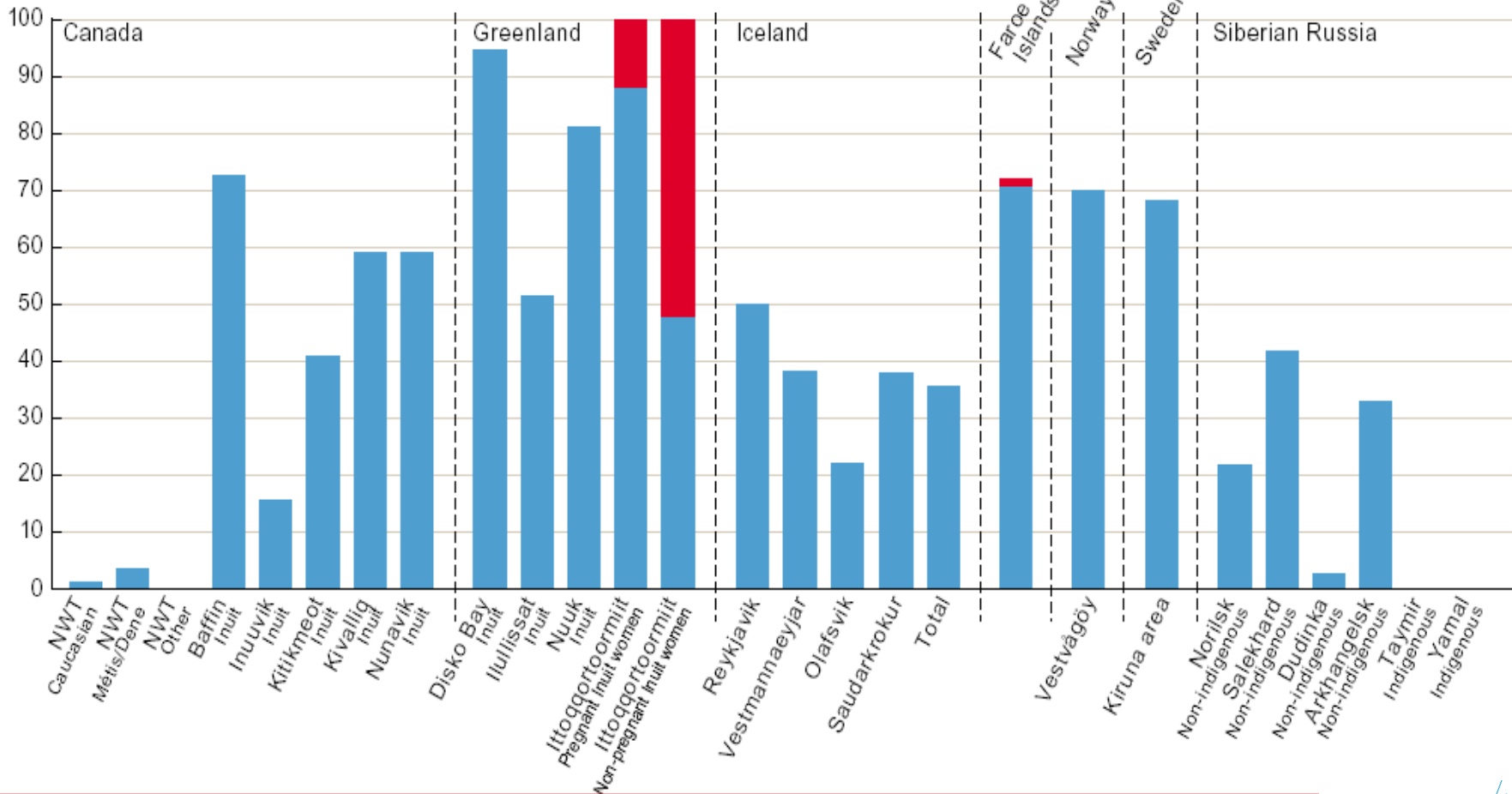


POPs v lidské krvi



POPs v lidské krvi

PCBs in blood, measured as Aroclor, % exceedance

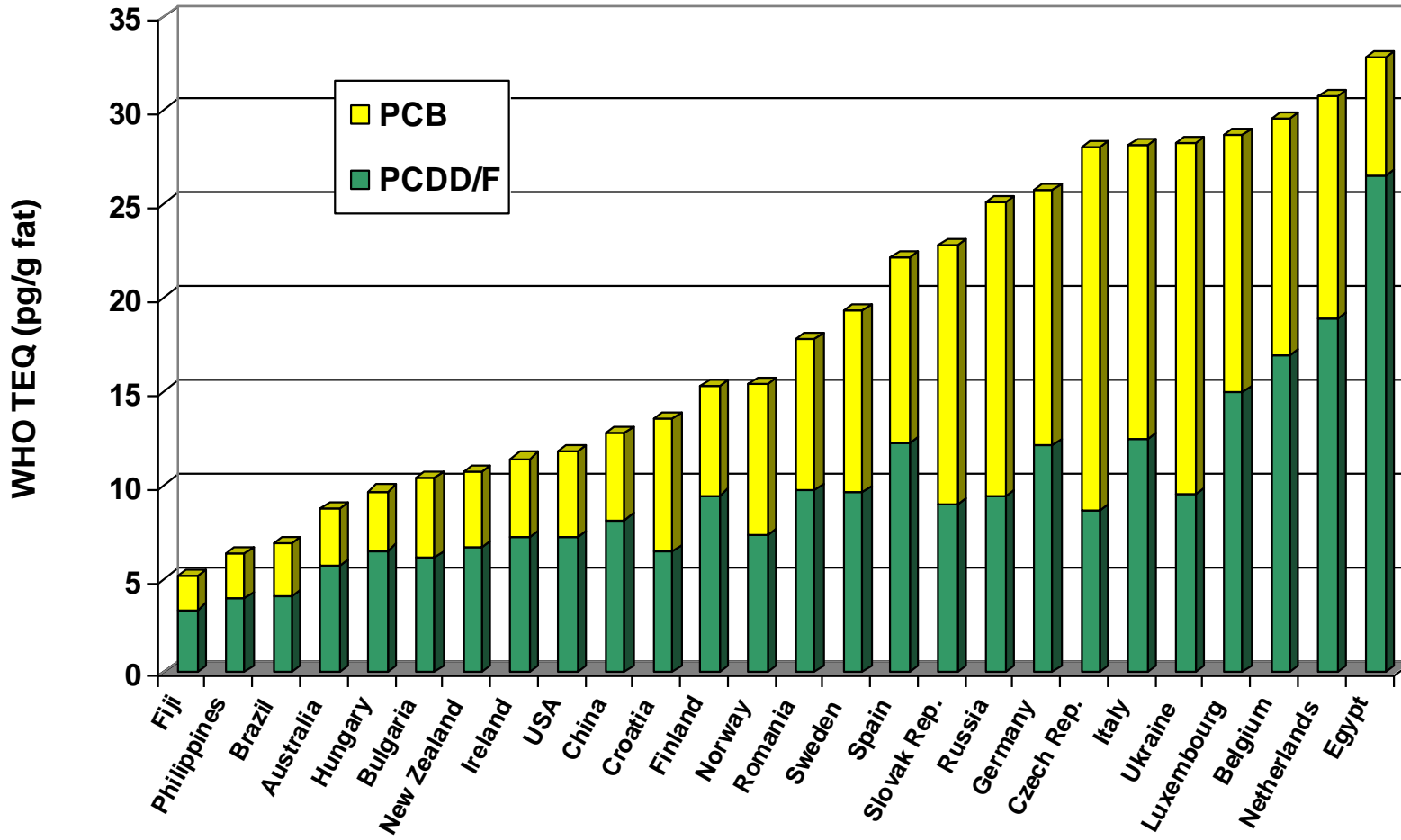


3. kolo WHO-koordinované expoziční studie

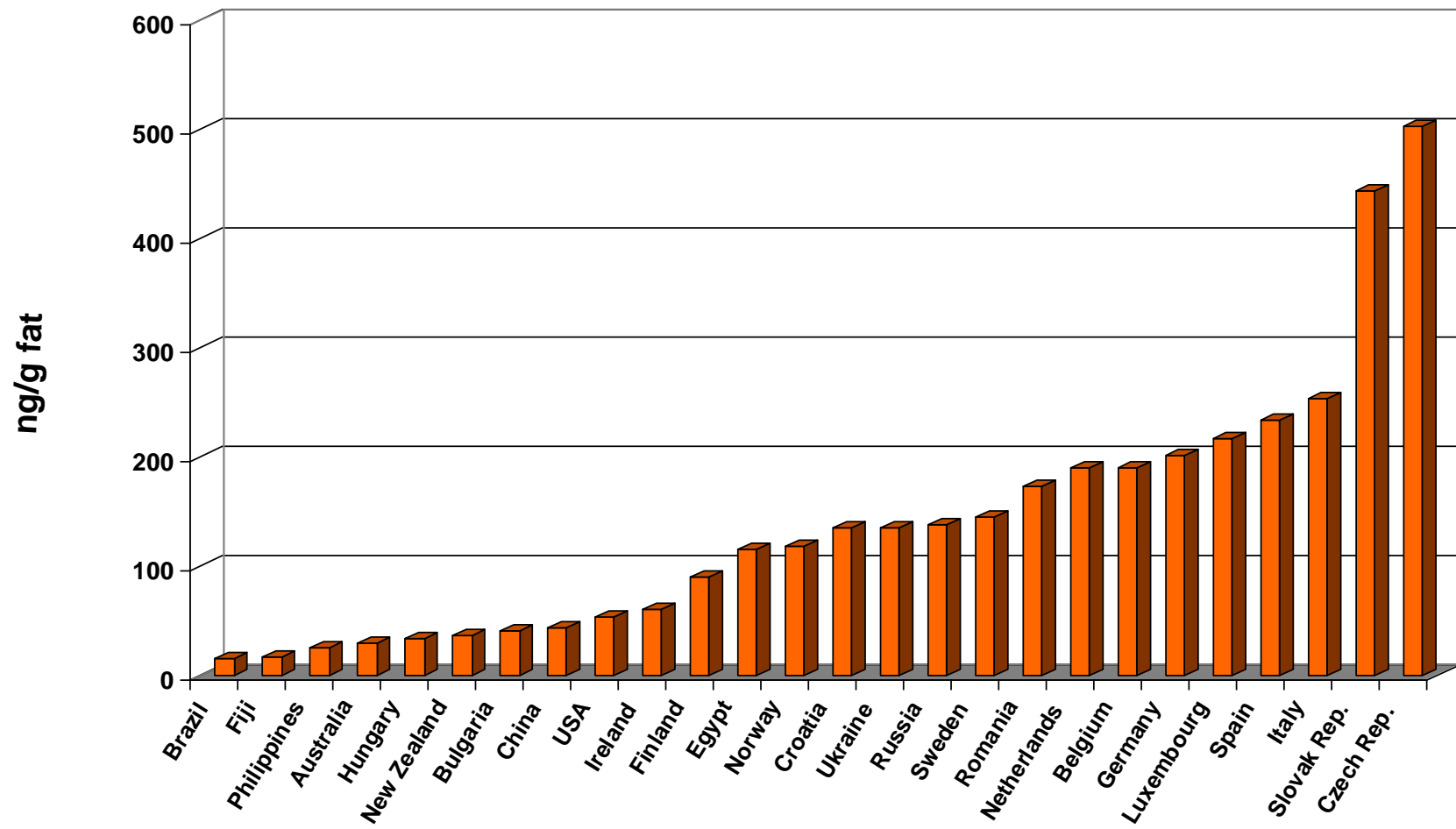
Současný stav

- ↳ 18 zemí poslalo kumulativní vzorky na analýzu do referenční laboratoře před 31/12/2001.
- ↳ 8 zemí poslalo vzorky v roce 2002.
- ↳ Všechny analýzy PCDDs, PCDFs a PCBs byly ukončeny v březnu 2003.
- ↳ Analýza POPs a PBDEs byla provedena poté.
- ↳ Současně bylo provedeno hodnocení demografických dat.

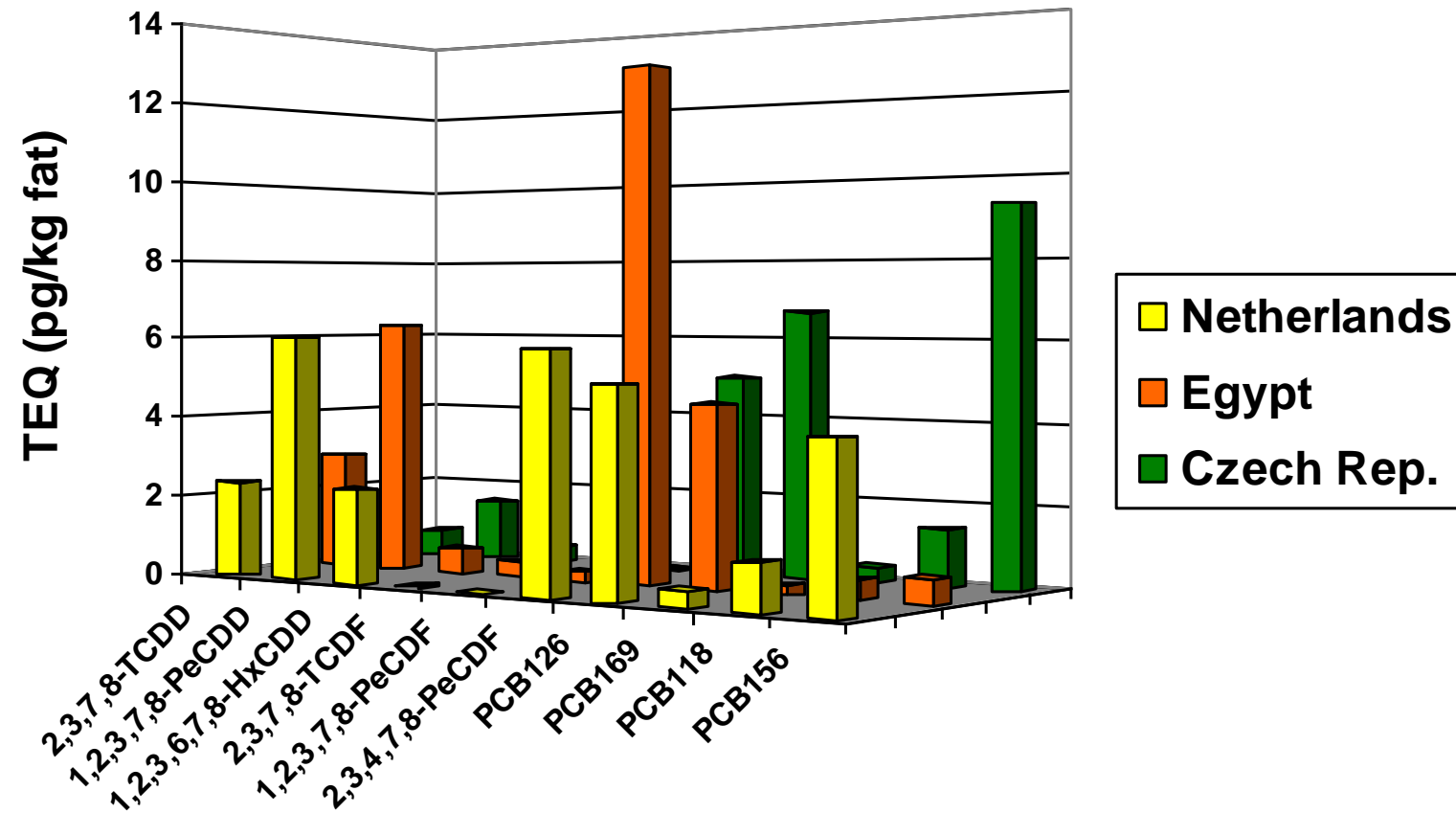
Příspěvky PCDDs/Fs a PCBs k celkové hodnotě TEQ v mateřském mléce v různých zemích



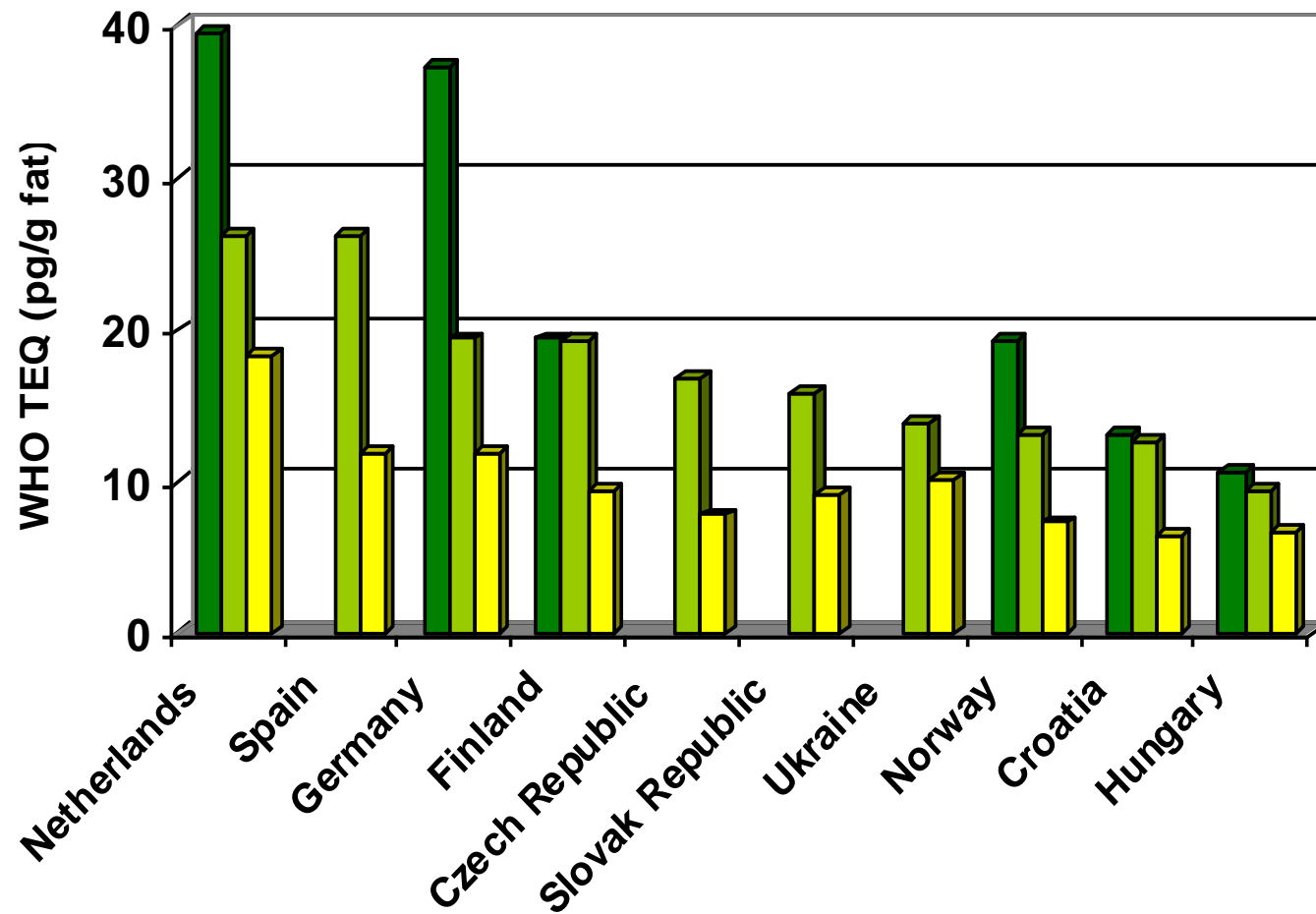
Množství (mediány) indikátorových PCBs v materinském mléce v různých zemích



Dioxinum-podobné kongenery v mateřském mléce



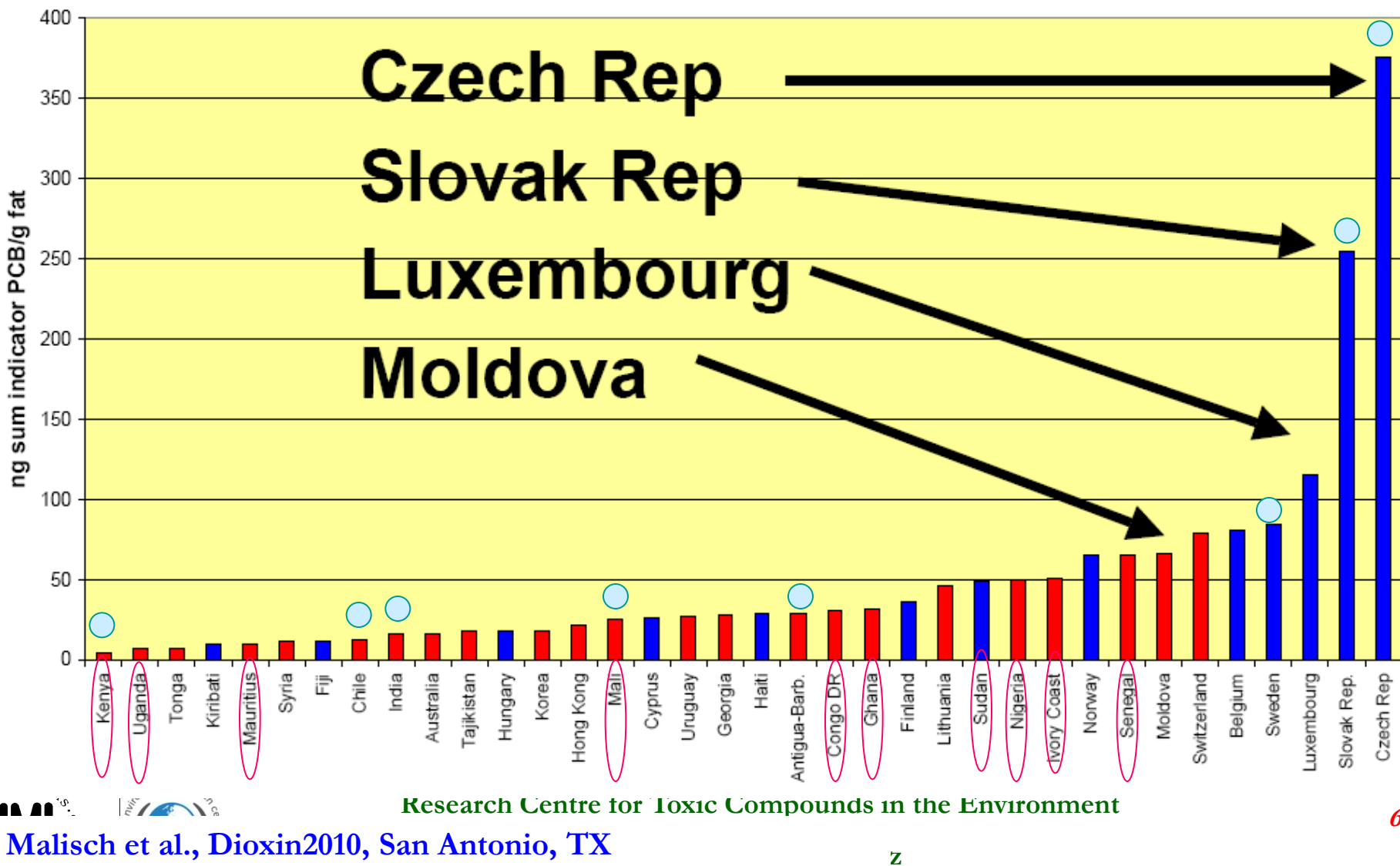
Časový trend PCDDs/Fs v lidském mléce



POPs v materškém mléce, studie WHO, 2008-9 – Σ

6 PCBs [$\mu\text{g} \cdot \text{kg}^{-1}$ tuku]

4th and 5th round: sum of 6 indicator PCB



Research Centre for Toxic Compounds in the Environment

Malisch et al., Dioxin2010, San Antonio, TX

PCBs v lidském mléce

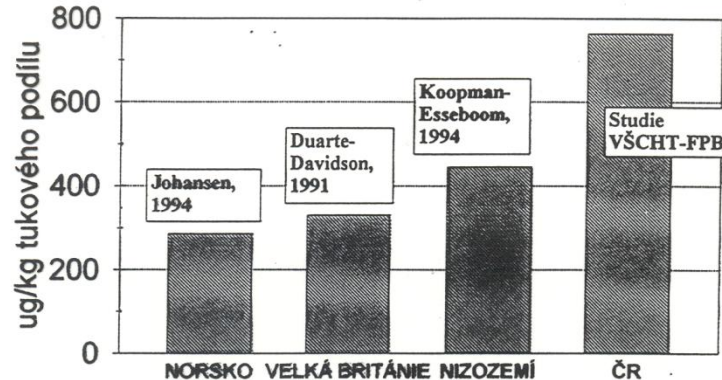
SROVNÁNÍ HLADIN PCB V MATEŘSKÉM MLÉCE V RŮZNÝCH ZEMÍCH

* Řešeno v rámci společného projektu VŠCHT-FPBT

s Ústavem péče o matku a dítě, Praha 4

Obsah PCB* v mateřském mléce

*PCB č.: 28,52,101,118,138,153 a 180



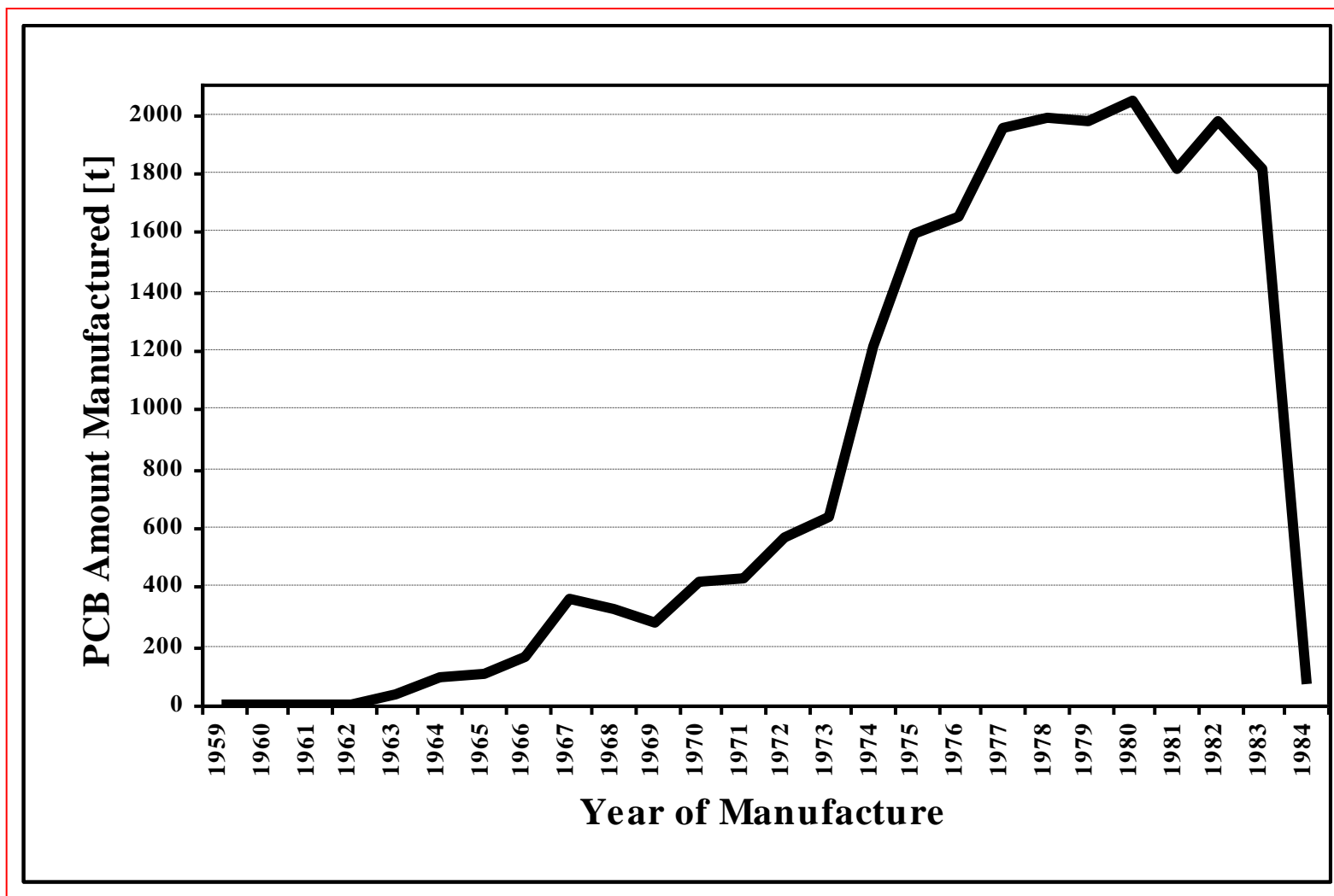
REFERENCE:

Johansen, H.R. et al.: J. Toxicol. Environ. Health, 42, 1994

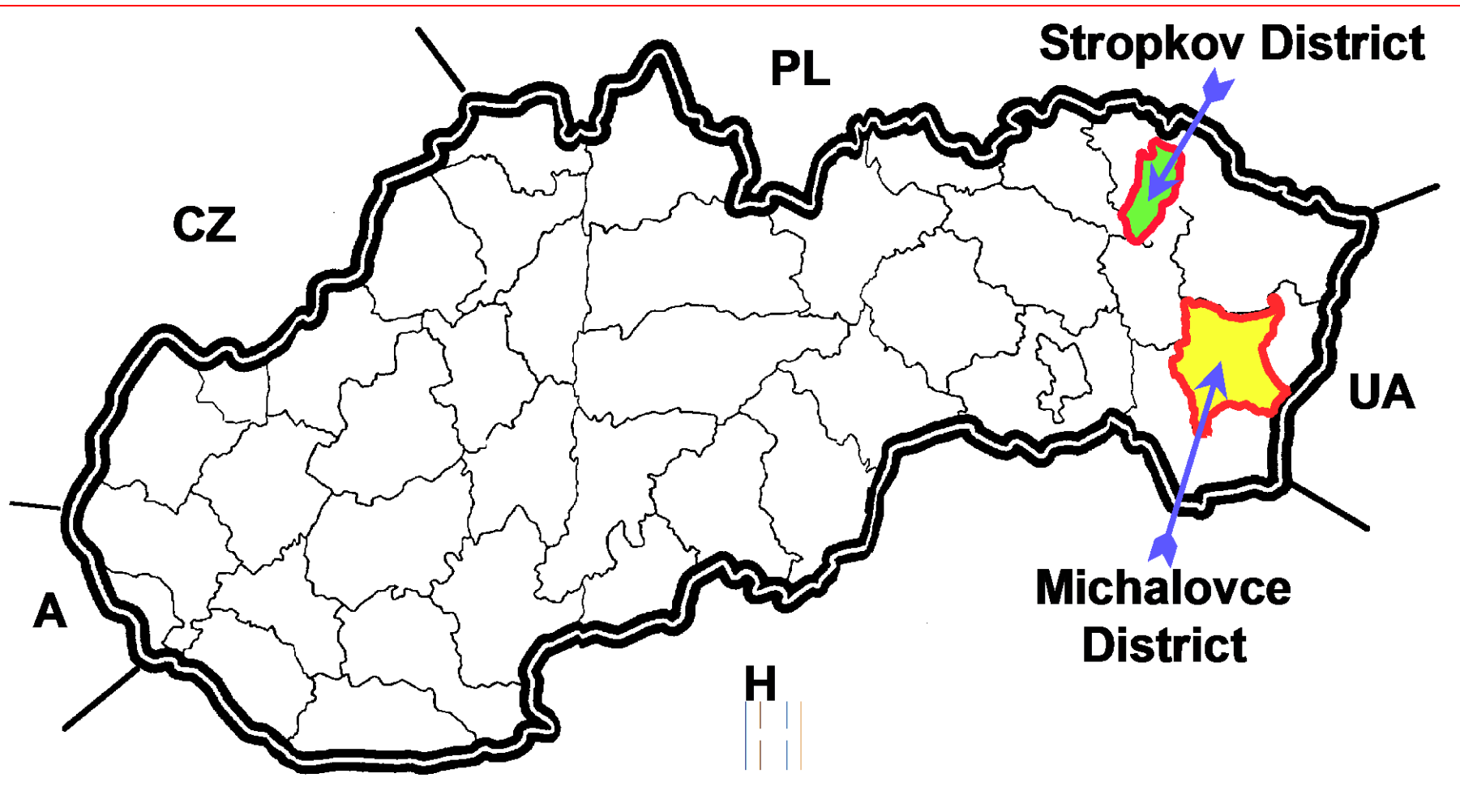
Duarte-Davidson, R. et al.: Chemosphere, 23, 1991

Koopman-Esseboom, C. et al.: Chemosphere, 28, 1994

Výroba PCBs v Československu



PCBs na Slovensku

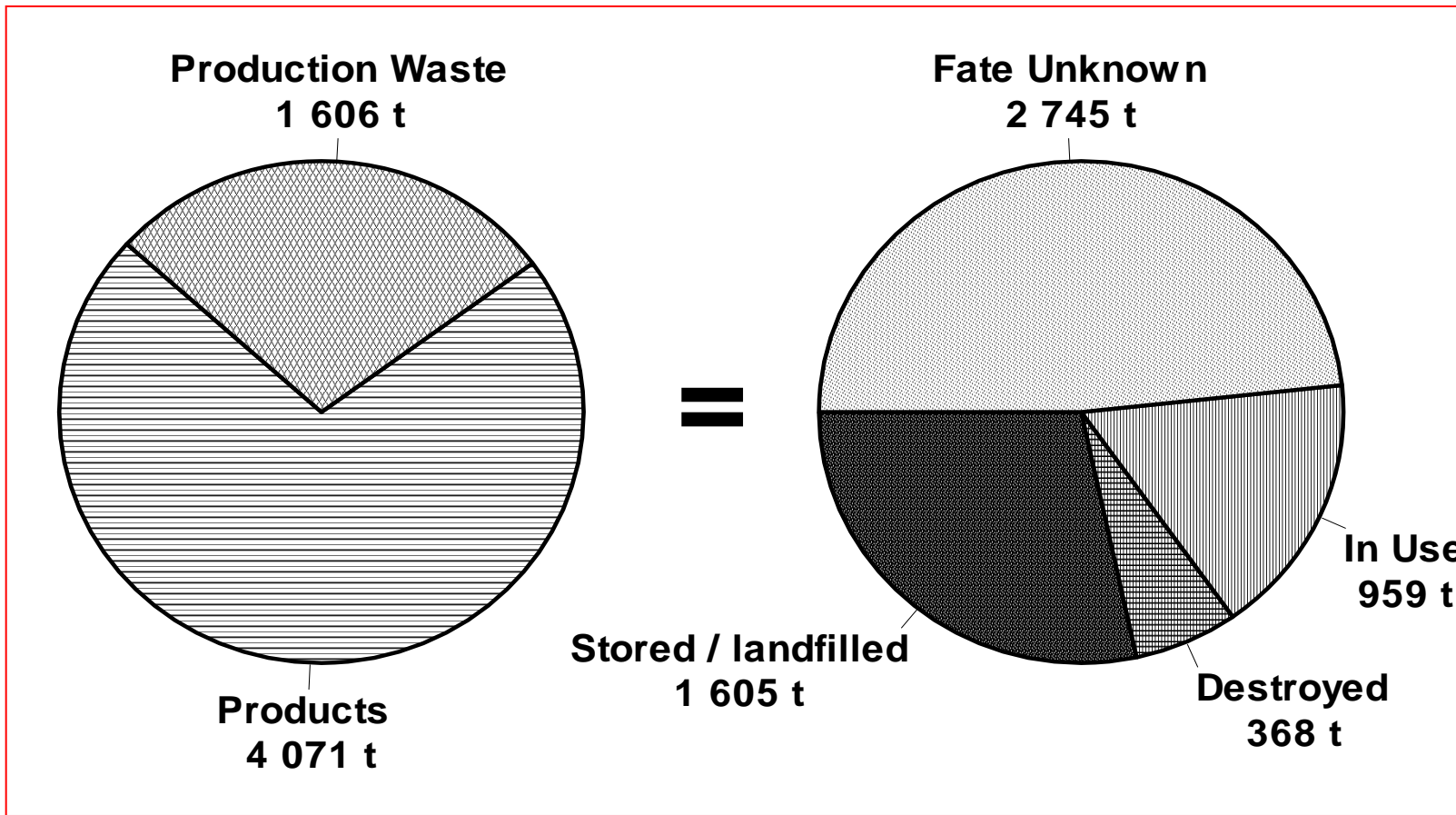


PCBs na Slovensku



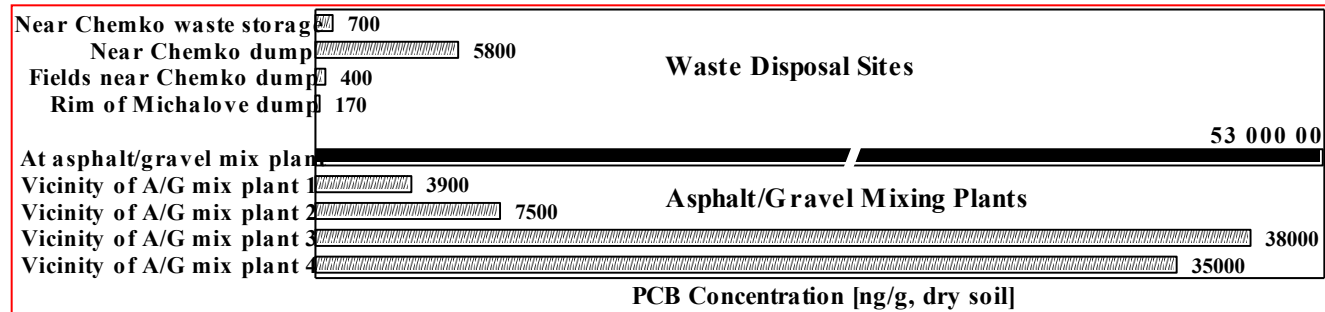
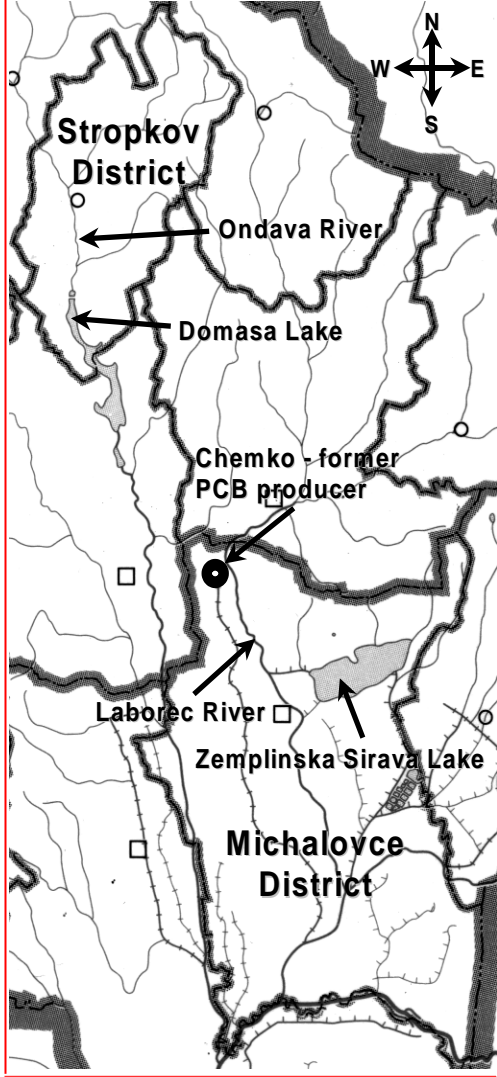
Uložení odpadů s PCBs v areálu
původního výrobce Chemko
Strážské

PCBs na Slovensku



Odhad inventory PCBs použitých na Slovensku (situace v listopadu 1997)

PCBs na Slovensku



PCB hladiny (suma všech kongenerů) v půdních vzorcích odebíraných v okolí obalovny asfaltu a na skládce odpadů Chemko Strážské.

More detailed map of the polluted and control areas with rivers and lakes; the population of the Michalovce district is 108 000 and the Stropkov one 20 500

PCBs Inventura - Slovensko a ČR (2003)

Typ	Ident.	Neident.	Celkem kusů	Tun
Kondenzátory	17 296	13 130	30 426	(170)
Transformátory	200	206	406	(82)
Ostatní	119	310	429	(92)
CELKEM	17 615	13 646		(344)

Typ	Ident.	Neident.	Celkem kusů	Tun
Kondenzátory	13 291	6 529	19 820	(330.5)
Transformátory	52	1 209	1 261	(1 350.8)
Ostatní		4 247	4 247	(1 647.4)
CELKEM	13 343	11 985	25 328	(3 328.7)

11 613 t PCBs bylo použito uvnitř bývalého Československa; kolem 750 000 kusů korekčních kondenzátorů bylo vyrobeno (3-20 kg PCBs)

PCBs Inventura - Slovensko a ČR (2003)

- 11 613 t bylo použito v bývalém Československu
- ČR/SR Inventura – 3 673 t
- Tanabeho předpoklad - ~ 1/3 vyrobeného množství je v prostředí
- Ještě kolem 3 000 t je někde – odpady, nekontrolovaná a neregistrovaná zařízení, bylo ilegálně zlikvidováno, neznámo kde